

MT-15

UNIVERSIDADE EDUARDO GUILLERME
FACULDADE DE CIÊNCIAS
DEPARTAMENTO DE MATEMÁTICA E FÍSICA

TRABALHO DE MONOGRAFIA

DE

SOB ALGUNS CRITÉRIOS DE C-ESTABILIDADE
PARA SISTEMAS DE EQUAÇÕES DIFERENCIAIS

AUTOR: JOSÉ ANTONIO NEAVOTE
SUPERVISOR: PROF. DOUTOR MANOEL JOAQUIM ALVES

MT-15

AGOSTO DE 2007

UNIVERSIDADE EDUARDO MONDLANE

FACULDADE DE CIÊNCIAS

DEPARTAMENTO DE MATEMÁTICA E INFORMÁTICA

TRABALHO DE LICENCIATURA

TEMA

SOBRE ALGUNS CRITÉRIOS DE C- ESTABILIDADE
PARA SISTEMAS DE EQUAÇÕES DIFERENCIAIS

Autor: José António Nhavoto

Supervisor: Prof. Doutor Manuel Joaquim Alves

Maputo, Maio de 2007

UNIVERSIDADE EDUARDO MONDLANE

FACULDADE DE CIÊNCIAS

DEPARTAMENTO DE MATEMÁTICA E INFORMÁTICA

TRABALHO DE LICENCIATURA

TEMA

**SOBRE ALGUNS CRITÉRIOS DE C- ESTABILIDADE
PARA SISTEMAS DE EQUAÇÕES DIFERENCIAIS**

Autor: José António Nhavoto, estudante finalista do curso de Informática

Supervisor: Prof. Doutor Manuel Joaquim Alves, Professor Associado em Equações Diferenciais no Departamento de Matemática e Informática

Maputo, 2007

DECLARAÇÃO SOB PALAVRA DE HONRA

Declaro que esta dissertação nunca foi apresentada para obtenção de qualquer grau e que ela constitui o resultado da minha investigação pessoal, estando indicados no texto e na bibliografia as fontes que utilizei ao longo do mesmo.

José António Nhavoto
José António Nhavoto

Conteúdo

| | |
|---|-----------|
| AGRADECIMENTOS | iii |
| DEDICATÓRIA | iv |
| SIMBOLOGIA | v |
| INTRODUÇÃO | 1 |
| 1 FUNÇÃO DE CAUCHY PARA SISTEMAS DE EQUAÇÕES DIFERENCIAIS | 3 |
| 1.1 Propriedades gerais de soluções de sistemas diferenciais lineares | 3 |
| 1.2 Fórmula de Ostrogradskiĭ-Liuoville | 5 |
| 1.3 Função de Cauchy | 6 |
| 1.4 Lema de Grönwall-Bellman | 11 |
| 2 ESTABILIDADE DE SISTEMAS DIFERENCIAIS | 17 |
| 2.1 Noções principais sobre a teoria de estabilidade | 17 |
| 2.2 Teoremas gerais sobre estabilidade de sistemas diferenciais | 20 |
| 2.3 Estabilidade de sistemas diferenciais lineares homogêneos | 25 |
| 2.4 Estabilidade de sistemas diferenciais lineares com matriz quase-constante | 31 |
| 3 CRITÉRIOS CLÁSSICOS DE ESTABILIDADE | 34 |
| 3.1 Critério de Hurwitz | 34 |
| 3.2 Critério de Liénard-Chipard | 43 |
| 3.3 Critério de Mikhailov | 45 |

| | | |
|-----|--|-----------|
| 4 | <i>W</i> -MÉTODO. D E C ESTABILIDADE | 48 |
| 4.1 | Definições básicas | 48 |
| 4.2 | Construção de domínio de estabilidade | 51 |
| 4.3 | Escolha e construção da equação modelo | 54 |
| 4.4 | <i>W</i> -método e estabilidade | 64 |
| 4.5 | Critérios de C estabilidade | 67 |
| | CONCLUSÕES E RECOMENDAÇÕES | 74 |
| | BIBLIOGRAFIA | 75 |

AGRADECIMENTOS

A concretização do presente trabalho contou com o apoio, disponibilidade e simpatia de muitas pessoas, às quais quero agora agradecer por tudo o que com elas aprendi. Neste sentido terei, necessariamente, de agradecer aos professores do Departamento de Matemática e Informática (DMI) que, ao longo destes cinco anos, me facultaram inúmeros ensinamentos teóricos e práticos, sem os quais não poderia estar a realizar esta tese de licenciatura.

Agradeço especialmente

- À minha esposa, pela paciência, disponibilidade em me ceder tempo sempre que precisei, pelo seu amor e amizade.
- Aos meus familiares pela sua compreensão, boa disposição, incentivo e ajuda com que sempre me presentearam ao longo destes anos.
- Aos meus colegas, conhecidos e amigos do DMI pelo apoio moral e pela paciência que sempre me deram em momentos de maior aflição.
- Aos Trabalhadores e Corpo Técnico do DMI.
- Ao Prof. Doutor Manuel Joaquim Alves, meu Professor e Supervisor, pelo acompanhamento ao longo de todo este percurso. Pelo seu apoio, disponibilidade, seus comentários teóricos, sugestões e indicações bibliográficas.

Com todos gostaria de partilhar a satisfação que é ver este trabalho concretizado, sendo que a eles devo, sem dúvida, muito do que cresci e aprendi ao longo da sua realização.

DEDICATÓRIA

Dedico este trabalho à minha família, em especial aos meus pais e à minha esposa Caldina Nhavoto.

SIMBOLOGIA

- \mathbb{R}^n é o espaço de vectores n -dimensionais, com a norma $|\cdot|$
- $\|\cdot\|_{\mathbf{X}}$ denota a norma no espaço \mathbf{X} ; se estiver claro sobre o espaço \mathbf{X} a que nos referimos, então escreveremos simplesmente $\|\cdot\|$
- $\dim M$ denota a dimensão da multivariiedade linear M
- $\|\mathcal{A}\|_{\mathbf{X} \rightarrow \mathbf{Y}}$ denota a norma do operador linear limitado $\mathcal{A} : \mathbf{X} \mapsto \mathbf{Y}$
- \mathcal{A}^* é o operador conjugado em relação ao operador linear \mathcal{A}
- $R(\mathcal{A})$ é o contradomínio do operador \mathcal{A}
- $D(\mathcal{A})$ é o domínio do operador \mathcal{A}
- \equiv significa "identicamente igual"
- $\stackrel{\text{def}}{=}$ significa "igual por definição"
- $L_p[0, 1] \equiv L_p$ ($1 \leq p < \infty$) é o espaço de classes equivalentes de funções $x : [0, 1] \mapsto \mathbb{R}^1$ somáveis em p grau, cuja norma é

$$\|x\|_{L_p} \stackrel{\text{def}}{=} \left(\int_0^1 |x(t)|^p dt \right)^{1/p}$$

e a relação de semi-ordenamento $\leq : x \leq y$, se $x(t) \leq y(t)$ para quase todo $t \in [0, 1]$

- $L_\infty[0, 1] \equiv L_\infty$ é o espaço de funções $x : [0, 1] \mapsto \mathbb{R}^1$ (classes equivalentes) mensuráveis e limitadas na essência, cuja norma é

$$\|x\|_{L_\infty} \stackrel{\text{def}}{=} \text{vrai sup}_{0 \leq t \leq 1} |x(t)|$$

e a relação de semi-ordenamento está definida como em L_1

- $W_p^n[0, 1] \equiv W_p^n$ é o espaço de funções $n - 1$ vezes diferenciáveis $x : [0, 1] \mapsto \mathbb{R}^1$ com derivada $x^{(n-1)}$ absolutamente contínua tal, que $x^{(n)} \in L_p$,

$$\|x\|_{W_p^n} \stackrel{\text{def}}{=} \|x^{(n)}\|_{L_p} + \sum_{i=0}^{n-1} |x^{(i)}(0)|$$

- $X \times Y$ é o produto directo dos espaços lineares X e Y
- $\text{Ker } \mathcal{A}$ é o núcleo do operador \mathcal{A}
- $\text{ind } \mathcal{A}$ é o índice do operador \mathcal{A}
- \mathcal{O} é o operador nulo
- E é a matriz unitária
- $f(t, \cdot)$ significa que t está fixo e f considera-se como uma função sómente do segundo argumento
- $f(\cdot, s)$ significa que s está fixo e f considera-se como uma função sómente do primeiro argumento
- ■ denota o fim da demonstração ou exemplo.

INTRODUÇÃO

A Teoria Matemática de Estabilidade para equações diferenciais é parte fundamental da Matemática e da Mecânica Teórica e tem os seus primórdios nos finais do século XIX, sendo seu fundador o matemático Lyapunov, que dedicou à este tema um ciclo de trabalhos, onde se destaca a sua tese de doutoramento "Problema geral sobre a estabilidade do movimento". Nesta tese Lyapunov mostra os ...casos nos quais a primeira aproximação, realmente, resolve a questão da estabilidade...

O problema de estabilidade do movimento de sistemas com um número finito de graus de liberdade reduz-se, segundo Lyapunov, à investigação da estabilidade da solução trivial (não perturbada) $x_1 = x_2 = \dots = x_n = 0$ do sistema de equações diferenciais

$$\frac{dx_i}{dt} = \sum_{k=1}^n a_{ik}(t)x_k + f_i(t), \quad i = 1, 2, \dots, n, \quad (0.0.1)$$

onde $a_{ik}(t)$, $f_i(t)$ são da classe $C(I)$, isto é, os coeficientes do sistema e os membros livres são funções contínuas no intervalo $I = \{t : a < t < \infty\}$. Ao introduzir as denotações

$$x = \text{col}[x_1, x_2, \dots, x_n], \quad A(t) = [a_{ik}(t)] \quad \text{e} \quad f(t) = \text{col}[f_1(t), f_2(t), \dots, f_n(t)],$$

podemos reescrever o sistema (0.0.1) numa forma mais cómoda:

$$\dot{x}(t) = A(t)x(t) + f(t),$$

onde $A(t) \in C(I)$ e $f(t) \in C(I)$.

O presente trabalho consiste na introdução, quatro capítulos, conclusão, recomendações e bibliografia citada.

No primeiro capítulo faz-se uma abordagem sobre as propriedades gerais dos sistemas de equações diferenciais. De seguida estuda-se a fórmula de Ostrogradskiï-Liouville. A função de Cauchy é aqui estudada. Procede-se neste capítulo a formulação e demonstração do lema de Grönwall-Bellman. Seguidamente são enunciados e demonstrados alguns teoremas fundamentais para o tema em estudo.

No segundo capítulo começa-se pela introdução do conceito de estabilidade (nomeadamente, estável, assintoticamente estável e exponencialmente estável). De seguida estabelecem-se alguns teoremas sobre estabilidade de sistemas diferenciais (lineares e não lineares) e faz-se a análise de casos de estabilidade para sistemas diferenciais lineares. Por fim, faz-se um estudo da estabilidade de sistemas diferenciais lineares quase-lineares. Aqui, a maior parte dos exemplos são acompanhados de uma ilustração gráfica.

O terceiro capítulo é dedicado a alguns critérios clássicos de estabilidade, nomeadamente de Hurwitz, Lienard-Chipard e Mikhailov. Neste capítulo, os exemplos do critério de Hurwitz fazem-se acompanhar por um software elaborado pelo autor.

No quarto e último capítulo estabelece-se o modo de construção de um domínio de estabilidade e lida-se com a equação modelo incluindo o modelo de construção dessa equação. O W-método é estudado neste capítulo. A parte mais importante deste capítulo é o último ponto que trata dos critérios de C-estabilidade.

Finalmente, apresentam-se as conclusões e recomendações deste trabalho.

Capítulo 1

FUNÇÃO DE CAUCHY PARA SISTEMAS DE EQUAÇÕES DIFERENCIAIS

1.1 Propriedades gerais de soluções de sistemas diferenciais lineares

Veamos o sistema diferencial linear [7]

$$\dot{x}_i(t) = \sum_{k=1}^n a_{ik}(t)x_k(t) + f_i(t), \quad i = 1, 2, \dots, n, \quad (1.1.1)$$

onde a_{ik} , f_i são da classe $C(I)$, isto é, os coeficientes do sistema e os membros livres são funções contínuas no intervalo $I \stackrel{\text{def}}{=} \{t : a < t < \infty\}$. Introduzindo a denotação matricial

$$x = \text{col}[x_1, x_2, \dots, x_n], \quad A(t) = [a_{ik}(t)], \quad f(t) = \text{col}[f_1(t), f_2(t), \dots, f_n(t)],$$

podemos reescrever o sistema (1.1.1) numa forma mais cômoda [2], [4], [7], [19]:

$$\dot{x}(t) = A(t)x(t) + f(t), \quad (1.1.2)$$

onde $A(t) \in C(I)$, $f(t) \in C(I)$.

Para o sistema linear (1.1.2) cumpre-se o seguinte teorema de existência e unicidade de solução:

Teorema 1.1.1. *Para qualquer sistema de valores $t_0 \in I$, $x_0 = \text{col}[x_{01}, x_{02}, \dots, x_{0n}]$, existe a solução $x = x(t)$ do sistema (1.1.2), definida para todos $t \in I$ e que satisfaz a condição inicial $x(t_0) = x_0$, sendo esta solução, com tais propriedades, única em I .*

Demonstração. Seja $X(t) = [x_{ik}(t)]$ ($\det X(t) \neq 0$) a matriz fundamental do respectivo sistema diferencial homogêneo [2], [4], [19]

$$\dot{x}(t) = A(t)x(t), \tag{1.1.3}$$

isto é, a matriz consiste em n soluções linearmente independentes

$$x^{(1)}(t) = \text{col}[x_{11}(t), x_{21}(t), \dots, x_{n1}(t)],$$

... ..

$$x^{(n)}(t) = \text{col}[x_{1n}(t), x_{2n}(t), \dots, x_{nn}(t)].$$

Vamos mostrar que a matriz $X(t)$ satisfaz a equação matricial

$$\dot{X}(t) = A(t)X(t). \tag{1.1.4}$$

Realmente, como a função $x_{ik}(t)$ satisfaz a i -ésima equação do sistema (1.1.3), então temos

$$\dot{x}_{ik}(t) = \sum_{s=1}^n a_{is}(t)x_{sk}(t). \tag{1.1.5}$$

Consequentemente, e recordando a regra de multiplicação de matrizes [3], [4], [19], obtemos

$$\dot{X}(t) = \dot{x}_{ik}(t) = \sum_{s=1}^n a_{is}(t)x_{sk}(t) = A(t)X(t). \blacksquare$$

Se $X(t)$ é a matriz fundamental do sistema (1.1.3), então a solução geral deste sistema pode escrever-se na forma

$$x(t) = X(t)c, \tag{1.1.6}$$

onde $c = \text{col}[c_1, c_2, \dots, c_n]$ é uma certa constante matriz-coluna. Suponhamos que a solução $x = x(t)$ satisfaz a condição inicial $x(t_0) = x_0$. Colocando, em (1.1.6), $t = t_0$ teremos

$$x(t_0) = X(t_0)c \implies c = X^{-1}(t_0)x(t_0).$$

Consequentemente,

$$x(t) = X(t)X^{-1}(t_0)x(t_0).$$

Introduzindo a matriz de Cauchy¹

$$C(t, t_0) \stackrel{\text{def}}{=} X(t)X^{-1}(t_0),$$

¹Augustin Louis Cauchy (1789-1857) — matemático francês

obtemos

$$x(t) = C(t, t_0)x(t_0). \quad (1.1.7)$$

Em particular, se a matriz fundamental $X(t)$ é normada quando $t = t_0$, isto é, $X(t_0) = E$, onde E é a matriz unidade, então a fórmula (1.1.7) tem a forma

$$x(t) = X(t)x(t_0).$$

Observação 1.1.1. A matriz de Cauchy não depende da escolha da matriz fundamental $X(t)$.

Realmente, se $\check{X}(t)$ é uma outra matriz fundamental do sistema (1.1.1), então temos $\check{X}(t) = X(t)B$, onde B é uma matriz constante não singular. Daqui, $\check{X}^{-1}(t) = B^{-1}X^{-1}(t)$ e, conseqüentemente,

$$\check{C}(t, t_0) = \check{X}(t)\check{X}^{-1}(t_0) = X(t)BB^{-1}X^{-1}(t_0) = X(t)X^{-1}(t_0) = C(t, t_0).$$

1.2 Fórmula de Ostrogradskiï-Liuoville

Seja $X(t) = [x_{ik}(t)]$ a matriz fundamental do sistema diferencial (1.1.3) e $W(t) = \det X(t)$ é o determinante de Wronskiï² [2]. Usando a regra de derivação do determinante obtemos

$$\frac{dW}{dt} = \sum_{i=1}^n \begin{vmatrix} x_{11}(t) & \dots & x_{1k}(t) & \dots & x_{1n}(t) \\ \dots & \dots & \dots & \dots & \dots \\ \dot{x}_{i1}(t) & \dots & \dot{x}_{ik}(t) & \dots & \dot{x}_{in}(t) \\ \dots & \dots & \dots & \dots & \dots \\ x_{n1}(t) & \dots & x_{nk}(t) & \dots & x_{nn}(t) \end{vmatrix}.$$

Daqui, e como

$$\dot{x}_{ik}(t) = \sum_{s=1}^n a_{is}(t)x_{sk}(t), \quad i, k = 1, 2, \dots, n,$$

temos

$$\frac{dW}{dt} = \sum_{i=1}^n \sum_{s=1}^n a_{is}(t) \begin{vmatrix} x_{11}(t) & \dots & x_{1k}(t) & \dots & x_{1n}(t) \\ \dots & \dots & \dots & \dots & \dots \\ x_{s1}(t) & \dots & x_{sk}(t) & \dots & x_{sn}(t) \\ \dots & \dots & \dots & \dots & \dots \\ x_{n1}(t) & \dots & x_{nk}(t) & \dots & x_{nn}(t) \end{vmatrix} = \sum_{i=1}^n \sum_{s=1}^n a_{is}(t)\delta_{is}W(t),$$

²Joseh Hoëne Wronskiï (1778-1853) — matemático e filósofo francês

onde $\delta_{is} = 0$, se $i \neq s$, e $\delta_{is} = 1$, se $i = s$. Assim,

$$\frac{dW}{dt} = W(t) \sum_{i=1}^n a_{ii}(t) = S_p A(t) W(t).$$

Logo,

$$\frac{dW}{W(t)} = S_p A(t) dt.$$

Integrando a última equação de t_0 até t , onde $t_0 \in I$, $t \in I$, obtemos a fórmula de Ostrogradski³-Liouville⁴

$$W(t) = W(t_0) \exp \int_{t_0}^t S_p A(t_1) dt_1.$$

1.3 Função de Cauchy

Consideremos a equação diferencial linear

$$\mathcal{L}x \stackrel{\text{def}}{=} x^{(n)} + p_1 x^{(n-1)} + \dots + p_n x = f, \quad (1.3.1)$$

onde $p_i = p_i(t)$, $i = 1, 2, \dots, n$, $x = x(t)$, $f = f(t)$.

Como é sabido, a solução geral desta equação tem a forma

$$x(t) = \sum_{k=0}^{n-1} c_k x_k(t) + v(t),$$

onde x_0, x_1, \dots, x_{n-1} é o sistema fundamental de soluções (sfs), isto é, n soluções linearmente independentes da equação homogénea

$$x^{(n)} + p_1 x^{(n-1)} + \dots + p_n x = 0, \quad (1.3.2)$$

$v(t)$ é solução particular de (1.3.1). A determinação de $v(t)$ é mais complicada. No caso geral a solução particular $v(t)$ determina-se pelo método de variação de constantes arbitrárias (método de Lagrange⁵) [1]. O método de Lagrange requer muitos cálculos e não é cómodo, pois ao mudar-se a parte direita $f(t)$ precisamos realizar novamente todos os cálculos. Uma modificação do método de Lagrange é a solução de (1.3.1) com ajuda da função de Cauchy [13].

³Mikhail Vasilevich Ostrogradskiĭ (1801–1862)—matemático ucraniano

⁴Joseph Liouville (1809–1882) — matemático francês

⁵Joseph Louis de Lagrange (1736–1813) — matemático francês

Definição 1.3.1. Chama-se *função de Cauchy* $C(t, s)$ a função tal que para qualquer parte direita $f(t)$ o integral [15]

$$v(t) = \int_a^t C(t, s)f(s)ds \tag{1.3.3}$$

é solução particular da equação (1.3.1).

A função $C(t, s)$ constrói-se segundo o sfs da equação (1.3.1). Neste parágrafo iremos analisar a forma da função de Cauchy, demonstraremos algumas das suas propriedades mais importantes e mostraremos que o integral (1.3.3) é solução da equação (1.3.1), qualquer que seja $f(t)$.

Seja $x_0(t), x_1(t), \dots, x_{n-1}(t)$ o sfs da equação (1.3.1),

$$W(t) = \begin{vmatrix} x_0(t) & x_1(t) & \dots & x_{n-1}(t) \\ x'_0(t) & x'_1(t) & \dots & x'_{n-1}(t) \\ \dots & \dots & \dots & \dots \\ x_0^{(n-1)}(t) & x_1^{(n-1)}(t) & \dots & x_{n-1}^{(n-1)}(t) \end{vmatrix}$$

o seu wronskiano (ou determinante de Wronskiï [4]). Vamos definir a função $C(t, s)$ do seguinte modo:

$$C(t, s) = \frac{1}{W(s)} \begin{vmatrix} x_0(s) & x_1(s) & \dots & x_{n-1}(s) \\ x'_0(s) & x'_1(s) & \dots & x'_{n-1}(s) \\ \dots & \dots & \dots & \dots \\ x_0^{(n-2)}(s) & x_1^{(n-2)}(s) & \dots & x_{n-1}^{(n-2)}(s) \\ x_0(t) & x_1(t) & \dots & x_{n-1}(t) \end{vmatrix}. \tag{1.3.4}$$

Teorema 1.3.1. Para qualquer $s \in [a, b]$, onde s é fixo, a função $C(t, s) = k(t)$ é solução do problema de Cauchy

$$\begin{cases} x^{(n)}(t) + p_1(t)x^{(n-1)}(t) + \dots + p_n(t)x(t) = 0, \\ x^{(k)}(s) = 0, \quad k = 0, 1, \dots, n - 2, \quad x^{(n-1)}(s) = 1. \end{cases}$$

Demonstração. Utilizando o teorema de Laplace⁶ [3], vamos escrever a função $C(t, s)$ na forma

$$C(t, s) = \frac{1}{W(s)} \sum_{k=0}^{n-1} x_k(t)x_k^*(s), \tag{1.3.5}$$

⁶Pierre Simon de Laplace (1749-1857) — matemático francês

onde $x_0^*(s), x_1^*(s), \dots, x_{n-1}^*(s)$ são os complementares algébricos dos elementos da última linha do determinante em (1.3.4). Se s é fixo então, como segue das relações (1.3.5), $k(t)$ é uma combinação linear de soluções da equação homogênea:

$$C(t, s) = k(t) = \sum_{k=0}^{n-1} \alpha_k x_k(t),$$

onde $\alpha_k = \frac{x_k^*(s)}{W(s)}$, $k = 0, 1, \dots, n-1$. Como qualquer combinação linear de soluções da equação homogênea é novamente solução desta equação, então $k(t)$ é solução de (1.3.5).

Vamos agora mostrar que $k(t)$ satisfaz as condições iniciais. Calculemos os valores de $k(t)$ e suas derivadas no ponto $t = s$:

$$k(s) = C(s, s) = \frac{1}{W(s)} \begin{vmatrix} x_0(s) & x_1(s) & \dots & x_{n-1}(s) \\ x_0'(s) & x_1'(s) & \dots & x_{n-1}'(s) \\ \dots & \dots & \dots & \dots \\ x_0(s) & x_1(s) & \dots & x_{n-1}(s) \end{vmatrix} = 0,$$

$$k'(s) = \left. \frac{\partial C(t, s)}{\partial t} \right|_{t=s} = \frac{1}{W(s)} \begin{vmatrix} x_0(s) & x_1(s) & \dots & x_{n-1}(s) \\ x_0'(s) & x_1'(s) & \dots & x_{n-1}'(s) \\ \dots & \dots & \dots & \dots \\ x_0'(s) & x_1'(s) & \dots & x_{n-1}'(s) \end{vmatrix} = 0,$$

$$k''(s) = \left. \frac{\partial C(t, s)}{\partial t} \right|_{t=s} = \frac{1}{W(s)} \begin{vmatrix} x_0(s) & x_1(s) & \dots & x_{n-1}(s) \\ x_0'(s) & x_1'(s) & \dots & x_{n-1}'(s) \\ \dots & \dots & \dots & \dots \\ x_0^{(n-2)}(s) & x_1^{(n-2)}(s) & \dots & x_{n-1}^{(n-2)}(s) \\ x_0''(s) & x_1''(s) & \dots & x_{n-1}''(s) \end{vmatrix} = 0,$$

...

$$k^{(n-2)}(s) = \left. \frac{\partial^{(n-2)} C(t, s)}{\partial t^{(n-2)}} \right|_{t=s} = \frac{1}{W(s)} \begin{vmatrix} x_0(s) & x_1(s) & \dots & x_{n-1}(s) \\ x_0'(s) & x_1'(s) & \dots & x_{n-1}'(s) \\ \dots & \dots & \dots & \dots \\ x_0^{(n-2)}(s) & x_1^{(n-2)}(s) & \dots & x_{n-1}^{(n-2)}(s) \\ x_0^{(n-2)}(s) & x_1^{(n-2)}(s) & \dots & x_{n-1}^{(n-2)}(s) \end{vmatrix} = 0.$$

Como

$$k^{(n-1)}(s) = \frac{\partial^{(n-1)}C(t, s)}{\partial t^{(n-1)}} \Big|_{t=s} = \frac{1}{W(s)} \begin{vmatrix} x_0(s) & x_1(s) & \dots & x_{n-1}(s) \\ x'_0(s) & x'_1(s) & \dots & x'_{n-1}(s) \\ \dots & \dots & \dots & \dots \\ x_0^{(n-2)}(s) & x_1^{(n-2)}(s) & \dots & x_{n-1}^{(n-2)}(s) \\ x_0^{(n-1)}(s) & x_1^{(n-1)}(s) & \dots & x_{n-1}^{(n-1)}(s) \end{vmatrix},$$

então

$$k^{(n-1)}(s) = \frac{W(s)}{W(s)} = 1. \quad \blacksquare$$

Do Teorema 1.3.1 segue que $C(t, s)$, para qualquer $s \in [a, b]$, s é fixo, é solução da equação homogênea (1.3.2), e satisfaz as condições

$$C(s, s) = 0, \quad \frac{\partial C(t, s)}{\partial t} \Big|_{t=s} = 0, \dots, \quad \frac{\partial^{(n-2)}C(t, s)}{\partial t^{(n-2)}} \Big|_{t=s} = 0, \quad \frac{\partial^{(n-1)}C(t, s)}{\partial t^{(n-1)}} \Big|_{t=s} = 1. \quad (1.3.6)$$

Vamos agora mostrar que, para qualquer função $f(t)$ da equação (1.3.1), a função

$$v(t) = \int_a^t C(t, s)f(s)ds$$

é solução particular desta equação.

Teorema 1.3.2. *A solução $v(t)$ do problema de Cauchy*

$$\begin{cases} x^{(n)}(t) + p_1(t)x^{(n-1)}(t) + \dots + p_n(t)x(t) = f(t), \\ x^{(k)}(a) = 0, \quad k = 0, 1, \dots, n-1, \end{cases}$$

tem a forma

$$v(t) = \int_a^t C(t, s)f(s)ds.$$

Demonstração. Vamos, primeiro, verificar que $\mathcal{L}v = f$. Usando a fórmula de derivação do integral dependente de parâmetro [1] temos:

$$v'(t) = \int_a^t \frac{\partial C(t, s)}{\partial t} f(s)ds + C(t, t)f(t).$$

Da propriedade (1.3.6) da função de Cauchy segue que $C(t, t) = 0$, logo

$$v'(t) = \int_a^t \frac{\partial C(t, s)}{\partial t} f(s) ds.$$

De modo análogo

$$v^{(k)}(t) = \int_a^t \frac{\partial^k C(t, s)}{\partial t^k} f(s) ds, \quad k = 2, 3, \dots, n-1,$$

e

$$v^{(n)}(t) = \int_a^t \frac{\partial^n C(t, s)}{\partial t^n} f(s) ds + \left. \frac{\partial^{n-1} C(t, s)}{\partial t^{n-1}} \right|_{s=t} f(t) = \int_a^t \frac{\partial^n C(t, s)}{\partial t^n} f(s) ds + f(t).$$

Colocando a função $v(t)$ e as suas derivadas na parte esquerda da equação (1.3.1), e agrupando as parcelas, obtemos

$$(\mathcal{L}v)(t) = f(t) + \int_a^t \left[\frac{\partial^n C(t, s)}{\partial t^n} + p_1(t) \frac{\partial^{n-1} C(t, s)}{\partial t^{n-1}} + \dots + p_n(t) C(t, s) \right] f(s) ds.$$

Como a função de Cauchy, para qualquer s fixo, é solução do problema homogêneo, então

$$\frac{\partial^n C(t, \cdot)}{\partial t^n} + p_1(t) \frac{\partial^{n-1} C(t, \cdot)}{\partial t^{n-1}} + \dots + p_n(t) C(t, \cdot) = 0.$$

Deste modo, $\mathcal{L}v = f$, isto é,

$$v(t) = \int_a^t C(t, s) f(s) ds$$

é solução da equação (1.3.1). Facilmente verifica-se que

$$v(a) = v'(a) = \dots = v^{(n-1)}(a) = 0. \quad \blacksquare$$

Do Teorema 1.3.2 segue que a solução geral da equação (1.3.1) tem a forma

$$x(t) = \sum_{k=0}^{n-1} c_k x_k(t) + \int_a^t C(t, s) f(s) ds.$$

Exemplo 1.3.1. Determine a solução particular da equação

$$x''' = e^t, \quad t \in [0, 1].$$

Resolução. Temos $x_0 = 1$, $x_1 = t$, $x_2 = t^2$ que é o sfs,

$$C(t, s) = \frac{1}{W(s)} \begin{vmatrix} 1 & s & s^2 \\ 0 & 1 & 2s \\ 1 & t & t^2 \end{vmatrix} = \frac{(s-t)^2}{2},$$

onde

$$W(s) = \begin{vmatrix} 1 & s & s^2 \\ 0 & 1 & 2s \\ 0 & 0 & 2 \end{vmatrix} = 2.$$

Logo

$$v(t) = \int_0^t \frac{(s-t)^2}{2} e^s ds = \frac{2e^t - (t^2 + 2t + 2)}{2}. \quad \blacksquare$$

1.4 Lema de Grönwall–Bellman

Lema 1.4.1 (de Grönwall⁷– Bellman⁸). *Sejam $u(t) \geq 0$ e $f(t) \geq 0$ se $t \geq t_0$ e $u(t) \in C_{[t_0, \infty]}$, $f(t) \in C_{[t_0, \infty]}$ e suponhamos que para $t \geq t_0$ se cumpre a desigualdade*

$$u(t) \leq c + \int_{t_0}^t f(s)u(s)ds, \quad (1.4.1)$$

onde c é uma constante positiva. Neste caso, para $t \geq t_0$, cumpre-se a desigualdade

$$u(t) \leq c \exp \int_{t_0}^t f(s)ds. \quad (1.4.2)$$

Demonstração. Da desigualdade (1.4.1) obtemos

$$\frac{u(t)}{c + \int_{t_0}^t f(s)u(s)ds} \leq 1$$

⁷Thomas Hakon Grönwall (1877–1932)— matemático sueco

⁸Richard Ernest Bellman (1920–1984)— matemático norte-americano

e

$$\frac{f(t)u(t)}{c + \int_{t_0}^t f(s)u(s)ds} \leq f(t). \quad (1.4.3)$$

Tendo em conta que

$$\frac{d}{dt} \left[c + \int_{t_0}^t f(s)u(s)ds \right] = f(t)u(t),$$

então, integrando a desigualdade (1.4.3) de t_0 até t teremos

$$\ln \left[c + \int_{t_0}^t f(s)u(s)ds \right] - \ln c \leq \int_{t_0}^t f(s)ds.$$

Daqui, e fazendo uso da desigualdade (1.4.1), obtemos

$$u(t) \leq c + \int_{t_0}^t f(s)u(s)ds \leq c \exp \int_{t_0}^t f(s)ds. \quad \blacksquare$$

Observação 1.4.1. Nas fórmulas (1.4.1) e (1.4.2), fazendo $c \rightarrow +0$, verificamos que o Lema 1.4.1 mantém-se correcto, se $c \equiv 0$.

Lema 1.4.2 (de Grönwall – Bellman). Suponhamos que a função $u(t)$ contínua e positiva para quaisquer valores $t, \tau \in]a, b[$, satisfaz a desigualdade integral

$$u(t) \leq u(\tau) + \int_{t_0}^t f(s)u(s)ds, \quad (1.4.4)$$

onde $f(t) \in C_{]a,b[}$ e $f(t) \geq 0$ se $a < t < b$. Então, se $a < t_0 \leq t < b$, é correcta a avaliação

$$u(t_0) \exp \left[- \int_{t_0}^t f(s)ds \right] \leq u(t) \leq u(t_0) \exp \left[\int_{t_0}^t f(s)ds \right]. \quad (1.4.5)$$

Demonstração. Da desigualdade (1.4.4), se $t \geq \tau$, temos

$$u(t) \leq u(\tau) + \int_{\tau}^t f(s)u(s)ds.$$

Daqui, e com base no Lema 1.4.1, obtemos

$$u(t) \leq u(\tau) \exp \left[\int_{\tau}^t f(s) ds \right].$$

De modo análogo, da desigualdade (1.4.4), se $t \leq \tau$, obtemos

$$u(t) \leq u(\tau) + \int_t^{\tau} f(s)u(s)ds. \quad (1.4.6)$$

Daqui, usando o método de demonstração do Lema 1.4.1, teremos

$$\frac{u(t)}{u(\tau) + \int_t^{\tau} f(s)u(s)ds} \leq 1$$

e

$$\frac{-f(t)u(t)}{u(\tau) + \int_t^{\tau} f(s)u(s)ds} \geq -f(t).$$

Integrando a última desigualdade de t até τ obtemos

$$\ln u(\tau) - \ln \left[u(\tau) + \int_t^{\tau} f(s)u(s)ds \right] \geq - \int_t^{\tau} f(s)ds,$$

isto é,

$$u(t) \leq u(\tau) + \int_t^{\tau} f(s)u(s)ds \leq u(\tau) \exp \int_t^{\tau} f(s)ds.$$

Trocando t por τ e τ por t , da última desigualdade se $t \geq \tau$ obtemos

$$u(\tau) \leq u(t) \exp \int_{\tau}^t f(s)ds$$

e, conseqüentemente,

$$u(t) \geq u(\tau) \exp \left[- \int_{\tau}^t f(s)ds \right]. \quad (1.4.7)$$

Colocando, nas desigualdades (1.4.6) e (1.4.7), $\tau = t_0$ obtemos a avaliação (1.4.5). ■

Lema 1.4.3. Sejam $u(t) \geq 0$ e $f(t) \geq 0$ se $t \geq t_0$, $u(t) \in C_{[t_0, \infty]}$, $f(t) \in C_{[t_0, \infty]}$ e suponhamos que é justa a desigualdade

$$u(t) \leq c + \int_{t_0}^t f(s)\phi(u(s))ds, \quad (1.4.8)$$

onde c é uma constante positiva e $\phi(u)$ é uma função contínua, não decrescente se $0 < u < \bar{u}$ ($\bar{u} \leq \infty$) e suponhamos que

$$\psi(u) = \int_c^u \frac{dv}{\phi(v)}, \quad 0 < u < \bar{u}. \quad (1.4.9)$$

Então, se

$$\int_{t_0}^t f(s)ds \leq \psi(\bar{u} - 0), \quad t_0 \leq t < \infty, \quad (1.4.10)$$

é justa a desigualdade

$$u(t) \leq \psi^{-1} \left[\int_{t_0}^t f(s)ds \right], \quad (1.4.11)$$

onde $\psi^{-1}(u)$ é função inversa de $\psi(u)$. Em particular, se $\bar{u} = \infty$ e $\psi(\infty) = \infty$, então a desigualdade (1.4.11) cumpre-se sem quaisquer limitações.

Demonstração. Tendo em conta que $\phi(u)$ é crescente, da desigualdade (1.4.8) obtemos

$$\phi(u(t)) \leq \phi \left[c + \int_{t_0}^t f(s)\phi(u(s))ds \right]. \quad (1.4.12)$$

Daqui,

$$\frac{f(t)\phi(u(t))}{\phi \left[c + \int_{t_0}^t f(s)\phi(u(s))ds \right]} \leq f(t).$$

Integrando a desigualdade (1.4.12) segundo a variável t de t_0 até t , se $t \geq t_0$, obtemos

$$\int_{t_0}^t \frac{f(s)\phi(u(t))dt}{\phi \left[c + \int_{t_0}^t f(s)\phi(u(s))ds \right]} \leq \int_{t_0}^t f(s)ds. \quad (1.4.13)$$

Seja

$$w(t) = c + \int_{t_0}^t f(s)\phi(u(s))ds,$$

então

$$w'(t) = f(t)\phi(u(t)).$$

Conseqüentemente, a fórmula (1.4.13) toma a forma

$$\int_{t_0}^t \frac{w'(t)}{\phi(w(t))} dt = \int_{w(t_0)}^{w(t)} \frac{ds}{\phi(s)} \leq \int_{t_0}^t f(s)ds.$$

Daqui, com base na fórmula (1.4.9), e tendo em conta que $w(t_0) = c > 0$ e $w(t) \geq c > 0$, teremos

$$\psi(w(t)) - \psi(w(t_0)) \leq \int_{t_0}^t f(s)ds,$$

ou, como $\psi(w(t_0)) = \psi(c) = 0$, então

$$\psi(w(t)) \leq \int_{t_0}^t f(s)ds. \tag{1.4.14}$$

Tendo em conta que

$$\psi'(u) = \frac{1}{\phi(u)} > 0 \quad \text{se } 0 < u < \bar{u},$$

a função $v = \psi(u)$ possui uma inversa crescente contínua $u = \psi^{-1}(v)$, definida na região $\psi(+0) < v < \psi(\bar{u} - 0)$, onde $\psi(+0) < 0$. Por isso, se a desigualdade (1.4.10) tem lugar, então da desigualdade (1.4.14) obtemos

$$c + \int_{t_0}^t f(s)\phi(u(s))ds = w(t) \leq \psi^{-1} \left[\int_{t_0}^t f(s)ds \right].$$

Daqui, e tendo em conta a desigualdade (1.4.13), obtemos a desigualdade (1.4.11). ■

Conseqüência 1.4.1. Se $\phi(u) = u$, então tem lugar a desigualdade (1.4.2).

Consequência 1.4.2. Se $\phi(u) = u^m$ ($m > 0$, $m \neq 1$) e cumpre-se a desigualdade

$$u(t) \leq c + \int_{t_0}^t f(s)[u(s)]^m ds, \quad \text{se } t \geq t_0,$$

então

$$u(t) \leq \left[c^{1-m} + (1+m) \int_{t_0}^t f(s) ds \right]^{\frac{1}{1-m}}, \quad \text{se } 0 < m < 1$$

e

$$u(t) \leq \frac{1}{\left[1 - (m-1)c^{m-1} \int_{t_0}^t f(s) ds \right]^{\frac{1}{m-1}}},$$

$$\text{se } m > 1 \text{ e } \int_{t_0}^t f(s) ds < \frac{1}{(m-1)c^{m-1}} \quad (t_0 \leq t).$$

Capítulo 2

ESTABILIDADE DE SISTEMAS DIFERENCIAIS

2.1 Noções principais sobre a teoria de estabilidade

Suponhamos que temos um sistema de equações diferenciais [7], [8]

$$\dot{x}_i(t) = f_i(t, x_1, x_2, \dots, x_n), \quad i = 1, 2, \dots, n, \quad (2.1.1)$$

onde $f_i(x_k)$, $i, k = 1, 2, \dots, n$ é contínua, e seja $\varphi_i(t)$, $i = 1, 2, \dots, n$, a solução do sistema que para $t = t_0$ satisfaz as condições $\varphi_i(t_0) = \varphi_i^0$, $i = 1, 2, \dots, n$.

Definição 2.1.1. A solução $\varphi_i(t)$ do sistema (2.1.1) chama-se *estável segundo Lyapunov*¹, quando $t \rightarrow +\infty$, se, para qualquer $\varepsilon > 0$, existe $\delta(\varepsilon) > 0$, tal que para qualquer solução $x_i(t)$, $i = 1, 2, \dots, n$, do sistema (2.1.1), cujos valores iniciais $\varphi_i(t_0) = \varphi_i^0$, $i = 1, 2, \dots, n$, satisfaçam as desigualdades

$$|x_i(t_0) - \varphi_i^0| < \delta(\varepsilon), \quad i = 1, 2, \dots, n,$$

forem válidas as desigualdades

$$|x_i(t) - \varphi_i(t)| < \varepsilon, \quad i = 1, 2, \dots, n, \quad (2.1.2)$$

para qualquer $t \geq t_0$.

¹Aleksandr Mikhailovich Lyapunov (1857–1918) — matemático russo

Definição 2.1.2. Se existir, pelo menos, uma solução $x_i(t)$, $i = 1, 2, \dots, n$, para a qual as desigualdades (2.1.2) não se verificam, por mais pequeno que seja $\delta > 0$, então diremos que $\varphi_i(t)$ é instável.

Definição 2.1.3. Se a solução $\varphi_i(t)$, $i = 1, 2, \dots, n$, é estável e satisfaz as condições

$$\lim_{t \rightarrow +\infty} |x_i(t) - \varphi_i(t)| = 0, \quad i = 1, 2, \dots, n,$$

quando $|x_i(t_0) - \varphi_i^0| < \delta$, então diremos que a solução $\varphi_i(t)$ é assintoticamente estável.

Definição 2.1.4. A solução $\varphi_i(t)$, $i = 1, 2, \dots, n$, é exponencialmente estável se existem as constantes positivas N e γ tais que para cada $\varphi_i(t_0)$ é válida a desigualdade

$$|x_i(t) - \varphi_i(t)| \leq N|x_i(t_0) - \varphi_i(t_0)| \exp(-\gamma(t - t_0)), \quad t > t_0.$$

Exemplo 2.1.1. Cada solução da equação

$$\dot{x} = 0 \tag{2.1.3}$$

é estável [8]. Realmente, a solução $x_1(t)$ desta equação, que satisfaz a condição inicial $x_1(t_0) = x_1^0$, é $x_1(t) = x_1^0 = \text{const.}$ Examinemos uma outra solução $x_2(t)$ da equação (2.1.3) que satisfaz a condição inicial $x_2(t_0) = x_2^0$. Vemos que $x_2(t) = x_2^0 = \text{const.}$ Para estas soluções teremos $|x_2(t) - x_1(t)| = |x_2^0 - x_1^0|$, para todo t . Por conseguinte, para qualquer $\varepsilon > 0$ existe $\delta > 0$ tal que se $|x_2^0 - x_1^0| < \delta$, então para as soluções $x_2(t)$ e $x_1(t)$ cumpre-se a desigualdade $|x_2(t) - x_1(t)| = |x_2^0 - x_1^0| < \varepsilon = \delta(\varepsilon)$, para todo $t \geq t_0$. Por outro lado, qualquer solução da equação (2.1.3) é estável, contudo não existe estabilidade assintótica:

$$|x_2(t) - x_1(t)| = |x_2^0 - x_1^0| \not\rightarrow 0, \quad \text{quando } t \rightarrow \infty. \blacksquare$$

Exemplo 2.1.2. Cada solução da equação

$$\dot{x} + x = 0 \tag{2.1.4}$$

é assintoticamente estável [8]. Na realidade, a solução geral da equação (2.1.4) tem a forma $x(t) = Ce^{-t}$. As soluções $x_1(t)$, $x_2(t)$ da equação (2.1.4), que satisfazem as condições iniciais $x_1(t) = x_1^0$, $x_2(t) = x_2^0$, são

$$x_1(t) = x_1^0 e^{-(t-t_0)} \quad \text{e} \quad x_2(t) = x_2^0 e^{-(t-t_0)}.$$

Daqui,

$$|x_2(t) - x_1(t)| = |x_2^0 - x_1^0| e^{-(t-t_0)} \rightarrow 0, \quad \text{quando } t \rightarrow \infty, \quad t > t_0. \blacksquare$$

O estudo da estabilidade da solução $\varphi_i(t)$ do sistema (2.1.1) pode ser reduzido ao estudo da estabilidade da solução nula $x_i(t) \equiv 0$, $i = 1, 2, \dots, n$, de um certo sistema, análogo ao sistema (2.1.1),

$$\dot{x}_i(t) = \psi_i(t, x_1, x_2, \dots, x_n), \quad i = 1, 2, \dots, n. \quad (2.1.5)$$

O ponto $x_i = 0$, $i = 1, 2, \dots, n$, chama-se **ponto de equilíbrio**.

Definição 2.1.5. *O ponto de equilíbrio $x_i = 0$, $i = 1, 2, \dots, n$, do sistema (2.1.5) é estável segundo Lyapunov se para qualquer $\varepsilon > 0$ existir $\delta(\varepsilon) > 0$ tal que para qualquer $x_i(t)$, $i = 1, 2, \dots, n$, cujos valores iniciais $x_i(t_0) = x_i^0$ satisfaçam as desigualdades $|x_i(t_0)| < \delta(\varepsilon)$, $i = 1, 2, \dots, n$, sejam verdadeiras as desigualdades $|x_i(t)| < \varepsilon$, para qualquer $t \geq t_0$.*

Definição 2.1.6. *O ponto de equilíbrio $x_i = 0$, $i = 1, 2, \dots, n$, diz-se instável se existir, pelo menos, uma solução $x_i(t)$, $i = 1, 2, \dots, n$, para a qual a desigualdade $|x_i(t)| < \varepsilon$, $i = 1, 2, \dots, n$, não se verifica, por mais pequeno que seja $\delta > 0$, para qualquer $t \geq t_0$.*

Definição 2.1.7. *Se, além de se verificarem as desigualdades $|x_i(t)| < \varepsilon$, $i = 1, 2, \dots, n$, também forem satisfeitas as condições $\lim_{t \rightarrow +\infty} |x_i(t)| = 0$, $i = 1, 2, \dots, n$, então diz-se que a estabilidade é assintótica.*

Exemplo 2.1.3. A solução do sistema

$$\begin{cases} \dot{x} = -y, \\ \dot{y} = x, \end{cases} \quad (2.1.6)$$

que satisfaz as condições $x(0) = 0$, $y(0) = 0$ é estável [7]. A solução do sistema (2.1.6), que satisfaz as condições dadas, é $x(t) = 0$, $y(t) = 0$. Qualquer solução deste sistema que satisfaça as condições $x(0) = 0$, $y(0) = 0$ tem a forma

$$x(t) = x_0 \cos t - y_0 \sin t, \quad y(t) = x_0 \sin t + y_0 \cos t.$$

Escolhamos um valor arbitrário $\varepsilon > 0$ e mostremos que existe $\delta(\varepsilon) > 0$ tal que, se $|x_0 - 0| < \delta$, $|y_0 - 0| < \delta$, então cumprem-se as desigualdades

$$|x_0 - 0| = |x_0 \cos t - y_0 \sin t| < \varepsilon,$$

$$|y_0 - 0| = |x_0 \sin t + y_0 \cos t| < \varepsilon,$$

para qualquer $t \geq 0$. Então, segundo a definição de Lyapunov, significa que a solução nula $x(t) = 0$, $y(t) = 0$ é estável. Evidentemente,

$$|x_0 \cos t - y_0 \sin t| \leq |x_0 \cos t| + |y_0 \sin t| \leq |x_0| + |y_0|, \quad (2.1.7)$$

$$|x_0 \sin t + y_0 \cos t| \leq |x_0 \sin t| + |y_0 \cos t| \leq |x_0| + |y_0|,$$

para qualquer t . Logo, se $|x_0| + |y_0| < \varepsilon$, então

$$|x_0 \cos t - y_0 \sin t| < \varepsilon, \quad |x_0 \sin t + y_0 \cos t| < \varepsilon, \quad (2.1.8)$$

para qualquer t . Por conseguinte, se considerarmos, por exemplo, $\delta(\varepsilon) = \frac{\varepsilon}{2}$, e se tivermos $|x_0| < \delta$, $|y_0| < \delta$, então atendendo à (2.1.7), as desigualdades (2.1.8) verificam-se para qualquer $t \geq 0$, isto é, a solução nula do sistema (2.1.6) é de facto estável, mas não é assintoticamente estável. ■

Exemplo 2.1.4. A solução $\varphi(t) = t$, com a condição inicial $x(0) = 0$, da equação

$$\dot{x} = 1 + t - x \quad (2.1.9)$$

é estável e assintoticamente estável [7]. Nota-se facilmente que a equação (2.1.9) é uma equação linear não homogénea. A sua solução geral é $x(t) = Ce^{-t} + t$. A condição inicial $x(0) = 0$ é satisfeita pela solução $\varphi(t) = t$ da equação (2.1.9). A condição inicial $x(0) = x_0$ da equação (2.1.9) pode ser escrita na forma

$$x(t) - \varphi(t) = x_0 e^{-t} + t - t = (x_0 - 0)e^{-t}.$$

Daqui, resulta que, para qualquer $\varepsilon > 0$ existe $\delta > 0$ (por exemplo, $\delta = \varepsilon$) tal que para qualquer solução $x(t)$ da equação (2.1.9), cujos valores iniciais satisfaçam a condição $|x_0 - 0| < \delta$, cumpre-se a desigualdade

$$|x(t) - \varphi(t)| = |x_0 - 0|e^{-t} < \varepsilon,$$

para qualquer $t \geq 0$. Por conseguinte, a solução é estável. Além disso, uma vez que

$$\lim_{t \rightarrow +\infty} |x(t) - \varphi(t)| = \lim_{t \rightarrow +\infty} |x_0 - 0|e^{-t} = 0,$$

a solução $\varphi(t) = t$ é assintoticamente estável. ■

2.2 Teoremas gerais sobre estabilidade de sistemas diferenciais

Suponhamos que temos um sistema de equações diferenciais

$$\dot{x}_i(t) = f_i(t, x_1, x_2, \dots, x_n), \quad i = 1, 2, \dots, n, \quad (2.2.1)$$

e seja $v(t, x_1, x_2, \dots, x_n)$ uma função continuamente diferenciável de seus argumentos e sejam x_1, x_2, \dots, x_n certas funções do tempo t que satisfazem o sistema de equações (2.2.1). A derivada total de v em ordem ao tempo é:

$$\frac{dv}{dt} = \frac{\partial v}{\partial t} + \sum_{i=1}^n \frac{\partial v}{\partial x_i} \frac{dx_i}{dt} = \frac{\partial v}{\partial t} + \sum_{i=1}^n \frac{\partial v}{\partial x_i} f_i(t, x_1, x_2, \dots, x_n). \quad (2.2.2)$$

Se o segundo membro da equação (2.2.1) não contém t , então tal sistema chama-se **autônomo** ou **estacionário** [8].

Teorema 2.2.1 (de Lyapunov sobre estabilidade). *Se para o sistema de equações diferenciais (2.2.1) existe uma função $v(t, x_1, x_2, \dots, x_n)$ que é definida positivamente para $t \geq t_0$, cuja derivada total $\frac{dv}{dt}$ em ordem ao tempo, determinada de acordo com o sistema (2.2.1), não é positiva, então a solução nula do sistema (2.2.1) é estável.*

Teorema 2.2.2 (de Lyapunov sobre estabilidade assintótica). *Se, para o sistema de equações diferenciais (2.2.1) existe uma função de sinal definido $v(x_1, x_2, \dots, x_n)$, cuja derivada total $\frac{dv}{dt}$ em ordem ao tempo, determinada de acordo com o sistema (2.2.1), seja uma função de sinal definido, oposto ao de v , então a solução trivial $x_i \equiv 0, i = 1, 2, \dots, n$, é assintoticamente estável.*

As funções $v(t, x_1, x_2, \dots, x_n)$ e $v(x_1, x_2, \dots, x_n)$ chamam-se **funções de Lyapunov** [7], [8].

Os gráficos abaixo indicados, que ilustram os exemplo apresentados, foram produzidos usando um software disponível no site [21].

Exemplo 2.2.1. Consideremos o sistema

$$\begin{cases} \dot{x} = y, \\ \dot{y} = -x. \end{cases} \quad (2.2.3)$$

Na qualidade de $v(x, y)$ escolhemos a função $v = x^2 + y^2$, que como se vê está definida positivamente. A sua derivada total em ordem ao tempo, de acordo com o sistema (2.2.3), é

$$\frac{dv}{dt} = 2x \frac{dx}{dt} + 2y \frac{dy}{dt} = 2xy - 2xy \equiv 0.$$

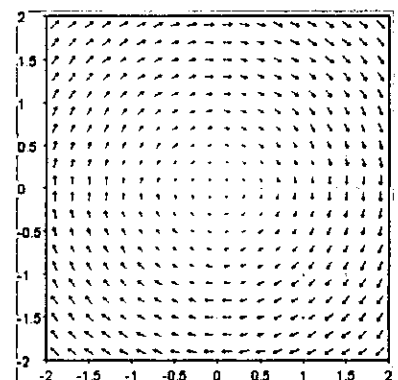


Fig. 2.1

Do Teorema 2.2.1 resulta que o ponto estacionário $(0, 0)$ do sistema (2.2.3) é estável. No entanto, a estabilidade não é assintótica: as trajectórias do sistema (2.2.3) são circunferências (Fig. 2.1) e não tendem para $(0, 0)$, quando $t \rightarrow +\infty$. ■

Exemplo 2.2.2. Consideremos o sistema

$$\begin{cases} \dot{x} = -2x - 3y, \\ \dot{y} = x - y. \end{cases} \quad (2.2.4)$$

Na qualidade da função v escolhemos $v = x^2 + 3y^2$. Ela está definida positivamente e a sua derivada $\frac{dv}{dt}$, tomada de acordo com o sistema (2.2.4), é igual a

$$\frac{dv}{dt} = 2x(-2x - 3y) + 6y(x - y) = -(2x^2 + 6y^2) \leq 0.$$

Como v e $\frac{dv}{dt}$ têm sinais opostos e $\frac{dv}{dt} = 0$ se $x = 0$ e $y = 0$, então segundo o Teorema 2.2.2 a solução trivial do sistema (2.2.4) é assintoticamente estável (a Fig. 2.2 ilustra claramente esta situação). ■

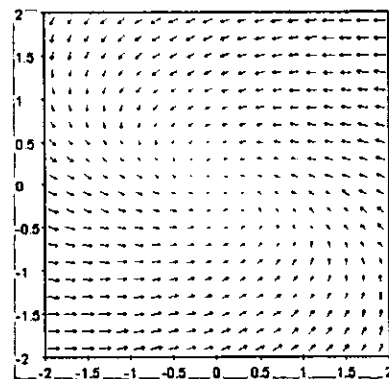


Fig. 2.2

Exemplo 2.2.3. Consideremos o sistema

$$\begin{cases} \dot{x} = -5y - 2x^3, \\ \dot{y} = 5x - 3y^3. \end{cases}$$

Facilmente vemos que a função $v = x^2 + y^2$ satisfaz as condições do Teorema 2.2.2:

(1) $v(x, y) \geq 0$,

(2) $\frac{dv}{dt} = 2x(-5y - 2x^3) + 2y(5x - 3y^3) = -(4x^4 + 6y^4) \leq 0$,

isto é, $\frac{dv}{dt} < 0$ e $\frac{dv}{dt} = 0$ somente para $x = 0$, $y = 0$ e, por conseguinte, a função é negativa. Vemos que, a solução $x \equiv 0$, $y \equiv 0$ é assintoticamente estável (a Fig. 2.3 ilustra claramente esta situação). ■

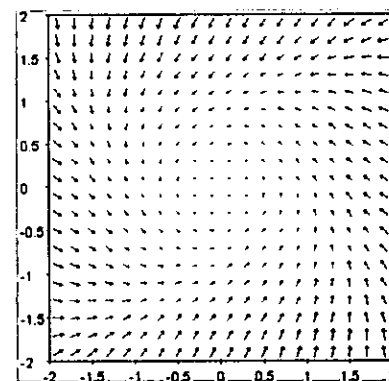


Fig. 2.3

Teorema 2.2.3 (de Lyapunov sobre instabilidade). *Suponhamos que para o sistema de equações diferenciais (2.2.1) existe uma função $v(x_1, x_2, \dots, x_n)$ diferenciável em torno da*

origem das coordenadas tal que $v(0, 0, \dots, 0) = 0$. Se a sua derivada total $\frac{dv}{dt}$, determinada de acordo com o sistema (2.2.1), for uma função definida positivamente e se existirem pontos próximos da origem das coordenadas, nos quais a função $v(x_1, x_2, \dots, x_n)$ toma valores positivos, então o ponto de equilíbrio $x_i = 0, i = 1, 2, \dots, n$, é instável.

Teorema 2.2.4 (de Chetaev² sobre instabilidade [8]). *Suponhamos que para o sistema de equações diferenciais (2.2.1) existe uma função $v(x_1, x_2, \dots, x_n)$ continuamente diferenciável em torno do ponto de equilíbrio $x_i = 0, i = 1, 2, \dots, n$, que satisfaz, numa vizinhança deste ponto, as seguintes condições:*

(1) *em qualquer vizinhança, por mais pequena que seja, do ponto de equilíbrio $x_i = 0, i = 1, 2, \dots, n$, existe um domínio Ω_1 , no qual $v(x_1, x_2, \dots, x_n) > 0$, sendo $v = 0$ nos pontos fronteiriços de Ω_1 que são internos para Ω (Fig. 2.4);*

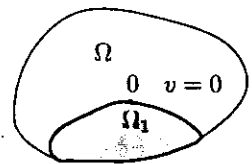


Fig. 2.4

(2) *o ponto de equilíbrio $O(0, 0, \dots, 0)$ é um ponto de fronteira do domínio Ω_1 ;*

(3) *no domínio Ω_1 , a derivada $\frac{dv}{dt}$, determinada de acordo com o sistema (2.2.1), está definida positivamente.*

Então, o ponto de equilíbrio $x_i = 0, i = 1, 2, \dots, n$, do sistema (2.2.1) é instável.

Exemplo 2.2.4. Consideremos o sistema

$$\begin{cases} \dot{x} = x, \\ \dot{y} = -y. \end{cases}$$

Tomando a função $v(x, y) = x^2 - y^2$, verifica-se que

$$\frac{dv}{dt} = 2x^2 + 2y^2 > 0.$$

Uma vez que existem pontos tão próximos quanto se queira da origem das coordenadas, nos quais $v > 0$ (por exemplo, $v = x^2 > 0$ ao longo da recta $y = 0$), estão satisfeitas as condições do Teorema 2.2.3 e o ponto de equilíbrio $O(0, 0)$ é, em virtude disso, instável (Fig. 2.5). ■

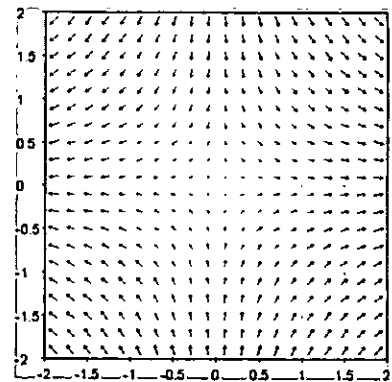


Fig. 2.5

²Nikolai Guryevich Chetaev (1902-1959)—matemático russo

Exemplo 2.2.5. Consideremos o sistema

$$\begin{cases} \dot{x} = x^2 + y, \\ \dot{y} = y^2 + x. \end{cases}$$

Seja $v = \frac{1}{3}x^3 + xy + \frac{1}{3}y^3$. Aqui, o domínio $v > 0$ é, por exemplo, $x > 0, y > 0$. No domínio $v > 0$ teremos

$$\frac{dv}{dt} = (x^2 + y)^2 + (x + y^2)^2 > 0.$$

Em virtude do Teorema 2.2.4, a solução $x \equiv 0, y \equiv 0$ é instável (a Fig. 2.6 ilustra claramente esta situação).

■

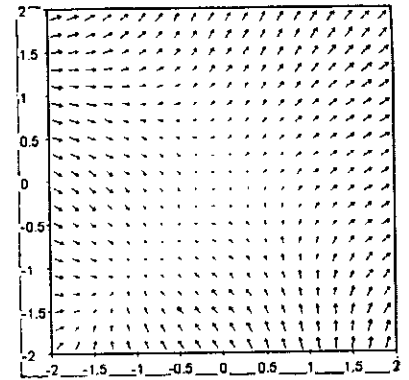


Fig. 2.6

Teorema 2.2.5. As soluções de um sistema de equações diferenciais lineares

$$\dot{x}_i(t) = \sum_{j=1}^n a_{ij}(t)x_j + f_i(t), \quad i = 1, 2, \dots, n,$$

são todas estáveis ou todas instáveis.

Esta afirmação não é verdadeira para sistemas não lineares, que podem ter simultaneamente soluções estáveis e soluções instáveis. Este caso é ilustrado no exemplo que segue.

Exemplo 2.2.6. Consideremos a equação não linear

$$\dot{x}(t) = 1 - x^2(t). \quad (2.2.5)$$

Esta equação admite, claramente, as soluções $\varphi(t) = 1$ e $\varphi(t) = -1$ [7]. A solução $\varphi(t) = -1$ desta equação é instável [7], [8], enquanto a solução $\varphi(t) = 1$ é assintoticamente estável. Na realidade, quando $t \rightarrow +\infty$ todas as soluções da equação (2.2.5)

$$x(t) = \frac{(1 + x_0)e^{2(t-t_0)} - (1 - x_0)}{(1 + x_0)e^{2(t-t_0)} + (1 - x_0)}$$

tendem para 1. Isto significa que a solução $\varphi(t) = 1$ desta equação é assintoticamente estável. ■

2.3 Estabilidade de sistemas diferenciais lineares homogêneos

Consideremos um sistema de duas equações lineares homogêneas

$$\dot{x}_i = \sum_{j=1}^2 a_{ij}x_j, \quad i = 1, 2, \quad (2.3.1)$$

ou [7], [8], [19]

$$\begin{cases} \dot{x}_1 = a_{11}x_1 + a_{12}x_2, \\ \dot{x}_2 = a_{21}x_1 + a_{22}x_2, \end{cases} \quad (2.3.2)$$

onde

$$\Delta = \begin{vmatrix} a_{11} & a_{12} \\ a_{21} & a_{22} \end{vmatrix} \neq 0.$$

O ponto $(0, 0)$, onde anula-se o segundo membro do sistema (2.3.2), é o ponto de equilíbrio. Fazemos a mudança $x_1 = x$ e $x_2 = y$. Procuramos a solução na forma [8]

$$x(t) = \alpha_1 e^{kt}, \quad y(t) = \alpha_2 e^{kt}.$$

Para definir k obtemos a equação característica [2], [7], [8], [19]

$$\begin{vmatrix} a_{11} - k & a_{12} \\ a_{21} & a_{22} - k \end{vmatrix} = 0, \quad (2.3.3)$$

e determinamos as suas raízes k_1 e k_2 . Assim, distinguem-se os seguintes casos:

Caso 1. As raízes k_1 e k_2 da equação característica (2.3.3) são reais e distintas.

Neste caso a solução geral do sistema (2.3.2) tem a forma [1], [2]

$$\begin{aligned} x(t) &= A_1 e^{k_1 t} + A_2 e^{k_2 t}, \\ y(t) &= B_1 e^{k_1 t} + B_2 e^{k_2 t}, \end{aligned} \quad (2.3.4)$$

onde dois dos quatro coeficientes são arbitrários.

- (a) Se $k_1 < 0$, $k_2 < 0$, então x e y tendem para zero quando $t \rightarrow +\infty$, portanto o ponto $(0, 0)$ é assintoticamente estável (nó estável, Fig. 2.7).
- (b) Se $k_1 > 0$, $k_2 > 0$, então x e y tendem para ∞ quando $t \rightarrow +\infty$, portanto o ponto $(0, 0)$ é instável (nó instável, Fig. 2.8).

- (c) Se $k_1 > 0$, $k_2 < 0$, o ponto $(0, 0)$ é instável (ponto sela, Fig. 2.9).
- (d) Se $k_1 = 0$, $k_2 > 0$, o ponto $(0, 0)$ é instável.
- (e) Se $k_1 = 0$, $k_2 < 0$, o ponto $(0, 0)$ é estável, mas não assintoticamente.

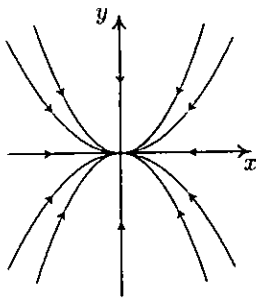


Fig. 2.7

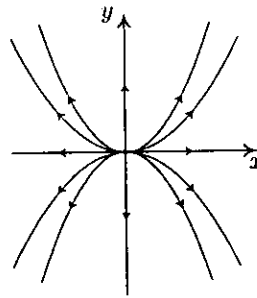


Fig. 2.8

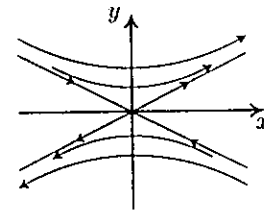


Fig. 2.9

Caso 2. As raízes da equação característica (2.3.3) são complexas $k_1 = p + qi$, $k_2 = p - qi$.

Neste caso a solução geral tem a forma [1], [2]

$$x(t) = e^{pt}(A_1 \cos qt + A_2 \sin qt),$$

$$y(t) = e^{pt}(B_1 \cos qt + B_2 \sin qt).$$

- (a) Se $p < 0$, $q \neq 0$, o ponto $(0, 0)$ é assintoticamente estável (foco estável, Fig. 2.10).
- (b) Se $p > 0$, $q \neq 0$, o ponto $(0, 0)$ é instável (foco instável, Fig. 2.11).
- (c) Se $p = 0$, $q \neq 0$, o ponto $(0, 0)$ é estável (centro, Fig. 2.12).

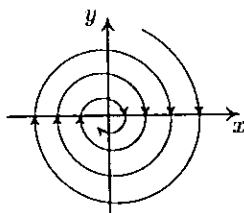


Fig. 2.10

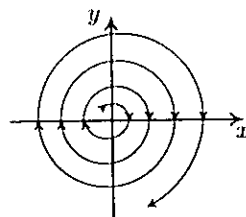


Fig. 2.11

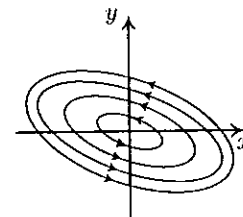


Fig. 2.12

Caso 3. A raiz é dupla: $k_1 = k_2 = k$.

A solução tem a forma [1], [2]

$$x(t) = e^{kt}(A_1 + A_2t),$$

$$y(t) = e^{kt}(B_1 + B_2t).$$

(a) Se $k < 0$, o ponto $(0, 0)$ é assintoticamente estável (nó estável, Fig. 2.13).

(b) Se $k > 0$, o ponto $(0, 0)$ é instável (nó instável, Fig. 2.14).

(c) Se $k = 0$, o ponto $(0, 0)$ é estável.

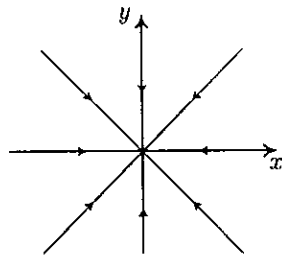


Fig. 2.13

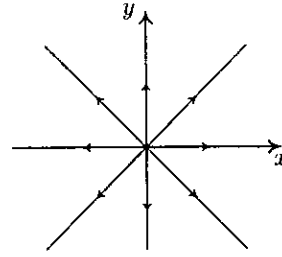


Fig. 2.14

Exemplo 2.3.1. Determinar o carácter do ponto de equilíbrio $(0, 0)$ do sistema

$$\begin{cases} \dot{x} = y, \\ \dot{y} = -x. \end{cases}$$

Solução. Neste caso a equação característica é

$$\begin{vmatrix} -k & 1 \\ -1 & -k \end{vmatrix} = 0, \quad \text{ou} \quad k^2 + 1 = 0.$$

As raízes da equação característica $k_{1,2} = \pm i$ são puramente imaginárias. Assim, o ponto de equilíbrio é estável e está no centro (a Fig. 2.15 ilustra com clareza esta situação). ■

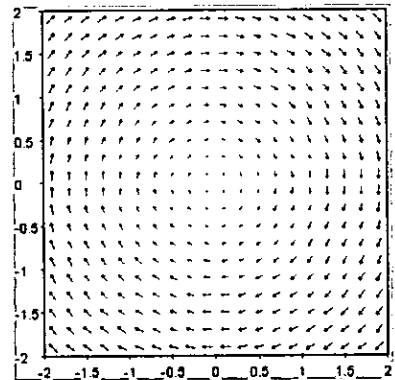


Fig. 2.15

Exemplo 2.3.2 Caracterizar o ponto de equilíbrio $(0, 0)$ do sistema

$$\begin{cases} \dot{x} = 3x + y, \\ \dot{y} = -2x + y. \end{cases}$$

Solução. A equação característica é

$$\begin{vmatrix} 3 - k & 1 \\ -2 & 1 - k \end{vmatrix} = 0, \quad \text{ou} \quad k^2 - 4k + 5 = 0.$$

Como as raízes da equação característica são complexas ($k_1 = 2 - i$ e $k_2 = 2 + i$) e porque $p = 2 > 0$, então o ponto $(0, 0)$ é um foco instável (a Fig. 2.16 ilustra com clareza esta situação). ■

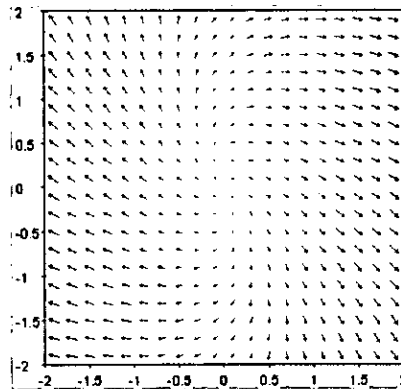


Fig. 2.16

Exemplo 2.3.1. Investigar o ponto de equilíbrio da equação de oscilações elásticas [7]

$$\frac{d^2x}{dt^2} + 2\alpha \frac{dx}{dt} + \beta^2 x = 0 \quad (2.3.5)$$

em função do parâmetro α ($\alpha > 0$) que representa o atrito e a resistência do meio.

Solução. A equação (2.3.5) é equivalente ao sistema de equações

$$\begin{cases} \dot{x} = y, \\ \dot{y} = -\beta^2 x - 2\alpha y. \end{cases} \quad (2.3.6)$$

Daqui,

$$\begin{vmatrix} -k & 1 \\ -\beta^2 & -2\alpha - k \end{vmatrix} = 0, \quad \text{ou} \quad k^2 + 2\alpha k + \beta^2 = 0.$$

Logo,

$$k_{1,2} = -\alpha \pm \sqrt{\Delta}, \quad \text{onde } \Delta = \alpha^2 - \beta^2. \quad (2.3.7)$$

Distinguem-se os casos:

- (a) $\alpha = 0$ (não existe resistência do meio).
Da equação (2.3.7) resulta $k_{1,2} = \pm i\beta$. O ponto de equilíbrio é estável, trata-se de um centro (todos os movimentos são periódicos).
- (b) $\alpha > 0, \Delta < 0$.
As raízes k_1, k_2 são complexas conjugadas, com $\text{Re } k_j < 0$ ($j = 1, 2$). Logo, o ponto de equilíbrio é um foco estável (as oscilações são amortecidas).
- (c) $\alpha < 0$ ("atrito negativo"), $\Delta < 0$.
As raízes k_1, k_2 são complexas conjugadas, com $\text{Re } k_j > 0$ ($j = 1, 2$). Logo, o ponto de equilíbrio é um foco instável.
- (d) $\alpha > 0, \Delta \geq 0$ (a resistência do meio é grande, $\alpha \geq \beta$).
As raízes k_1, k_2 são reais negativas. O ponto de equilíbrio é um nó estável (todas as soluções são movimentos amortecidos e não oscilantes).
- (e) $\alpha < 0, \Delta \geq 0$ (grande "atrito negativo").
As raízes k_1, k_2 são reais positivas. O ponto de equilíbrio é um nó instável. ■

Teorema 2.3.1. *Sejam k_1 e k_2 as raízes da equação característica*

$$\begin{vmatrix} a_{11} - k & a_{12} \\ a_{21} & a_{22} - k \end{vmatrix} = 0, \quad \text{ou} \quad k^2 - (a_{11} + a_{22})k + (a_{11}a_{22} - a_{12}a_{21}) = 0 \quad (2.3.8)$$

do sistema linear

$$\dot{x}_i = \sum_{j=1}^2 a_{ij}x_j, \quad i = 1, 2, \quad (2.3.9)$$

onde $a_{11}a_{22} - a_{12}a_{21} \neq 0$. Então o ponto de equilíbrio $(0, 0)$ é:

- (a) *assimptoticamente estável se as partes reais de k_1 e k_2 são ambas negativas;*
- (b) *estável, mas não assimptoticamente estável, se as partes reais de k_1 e k_2 são ambas nulas.*
- (c) *instável se k_1 e/ou k_2 têm a parte real positiva.*

Em geral, para o sistema de equações lineares homogêneo de coeficientes constantes [8]

$$\dot{x}_i = \sum_{j=1}^n a_{ij}x_j, \quad i = 1, 2, \dots, n, \quad (2.3.10)$$

a equação característica é

$$\begin{vmatrix} a_{11} - k & a_{12} & \dots & a_{1n} \\ a_{21} & a_{22} - k & \dots & a_{2n} \\ \dots & \dots & \dots & \dots \\ a_{n1} & a_{n2} & \dots & a_{nn} - k \end{vmatrix} = 0. \quad (2.3.11)$$

Neste caso tem lugar o seguinte teorema:

Teorema 2.3.2.

- (a) Se as partes reais de todas as raízes da equação característica (2.3.11) do sistema (2.3.10) são negativas, então o ponto de equilíbrio $x_i(t) \equiv 0$, $i = 1, 2, \dots, n$, é assintoticamente estável.
- (b) Se a parte real de pelo menos uma raiz da equação (2.3.11) é positiva, $\text{Re } k_i = p_i > 0$, então o ponto de equilíbrio $x_i(t) \equiv 0$, $i = 1, 2, \dots, n$, do sistema (2.3.10) é instável.

Exemplo 2.3.2. Verifique a estabilidade do ponto de equilíbrio do sistema

$$\begin{cases} \dot{x} = -x + z, \\ \dot{y} = -2y - z, \\ \dot{z} = y - z. \end{cases}$$

Solução. Escrevendo a equação característica do sistema obtemos

$$\begin{vmatrix} -1 - k & 0 & 1 \\ 0 & -2 - k & -1 \\ 0 & 1 & -1 - k \end{vmatrix} = 0,$$

ou $(1 + k)(k^2 + 3k + 3) = 0$. As raízes desta equação são $k_1 = -1$ e $k_{2,3} = -\frac{3}{2} \pm i\frac{\sqrt{3}}{2}$ e têm a parte real negativa. Logo, o ponto de equilíbrio deste sistema é assintoticamente estável. ■

2.4 Estabilidade de sistemas diferenciais lineares com matriz quase-constante

Teorema 2.4.1. *Consideremos o sistema [2], [4], [19]*

$$\dot{x} = Ax, \tag{2.4.1}$$

onde A é uma matriz de dimensão $n \times n$. Suponhamos que (2.4.1) é estável quanto $t \rightarrow +\infty$. Então o sistema

$$\dot{y} = [A + B(t)]y, \tag{2.4.2}$$

onde $B(t) \in C_{[t_0, +\infty]}$ e

$$\int_{t_0}^{\infty} \|B(t)\| dt < \infty, \tag{2.4.3}$$

é também estável quando $t \rightarrow +\infty$.

Demonstração. Sem limitação da sua essência façamos $t_0 = 0$. Suponhamos que $X(t)$ é a matriz fundamental do sistema (2.4.1) tal que $X(0) = E$. Considerando a expressão $B(t)y$ como o membro livre na equação (2.4.2) e aplicando o método de Lagrange de variação de constantes [1], [19] obtemos que cada solução $y(t)$ satisfaz a equação integral

$$y(t) = X(t)y(0) + \int_0^t X(t-s)B(s)y(s)ds, \quad t \geq 0. \tag{2.4.4}$$

Daqui,

$$\|y(t)\| \leq \|X(t)\| \|y(0)\| + \int_0^t \|X(t-s)\| \|B(s)\| \|y(s)\| ds.$$

Como o sistema (2.4.1) é estável, então a matriz $X(t)$ é limitada, isto é, $\|X(t)\| \leq k$, se $t \geq 0$. Deste modo,

$$\|y(t)\| \leq k \|y(0)\| + \int_0^t k \|B(s)\| \|y(s)\| ds.$$

Usando o lema de Grönwall-Bellman, teremos

$$\|y(t)\| \leq k \|y(0)\| \exp \left(k \int_0^t \|B(s)\| ds \right) \leq k \|y(0)\| \exp \left(k \int_0^{\infty} \|B(s)\| ds \right) < \infty.$$

Consequentemente, o sistema (2.4.2) é estável quando $t \rightarrow +\infty$. ■

Teorema 2.4.2. *Se a matriz A é constante e o sistema*

$$\dot{x} = Ax \quad (2.4.5)$$

é assintoticamente estável quando $t \rightarrow +\infty$, então o sistema linear

$$\dot{y} = [A + B(t)]y, \quad (2.4.6)$$

onde $B(t) \in C_{[t_0, \infty]}$ e $B(t) \rightarrow 0$ se $t \rightarrow \infty$, é também assintoticamente estável.

Demonstração. Pelo facto do sistema (2.4.5) ser assintoticamente estável, então as raízes características $\lambda_j(A)$, $j = 1, 2, \dots, n$, da matriz A possuem partes reais negativas. Colocamos

$$\alpha = \max_j \operatorname{Re} \lambda_j(A) < 0, \quad j = 1, 2, \dots, n, \quad (2.4.7)$$

e escolhemos um $\varepsilon > 0$ tal que é válida a desigualdade

$$\alpha + 2\varepsilon < 0. \quad (2.4.8)$$

Na equação (2.4.6) fazemos a mudança de variável

$$y = e^{At}z. \quad (2.4.9)$$

Então,

$$\dot{y} = e^{At}\dot{z} + Ae^{At}z = [A + B(t)]e^{At}z$$

e, conseqüentemente,

$$\dot{z} = e^{-At}B(t)e^{At}z.$$

Passando à equação integral teremos

$$z(t) = z(t_0) + \int_{t_0}^t e^{-As}B(s)e^{As}z(s)ds.$$

Daqui, tendo em conta que $y(t_0) = e^{At_0}z(t_0)$ e na base da fórmula (2.4.9), para a solução $y(t)$ obtemos a equação integral

$$y(t) = e^{A(t-t_0)}y(t_0) + \int_{t_0}^t e^{A(t-s)}B(s)y(s)ds.$$

Fazendo a avaliação segundo a norma, se $t \geq t_0$, obtemos

$$\|y(t)\| \leq \|e^{A(t-t_0)}\| \|y(t_0)\| + \int_{t_0}^t \|e^{A(t-s)}\| \|B(s)\| \|y(s)\| ds.$$

Temos, para $t \geq 0$,

$$\|e^{tA}\| \leq ce^{(\alpha+\varepsilon)t},$$

onde $c = c(\varepsilon)$ é uma certa constante positiva. Assim,

$$\|y(t)\| \leq c\|y(t_0)\|e^{(\alpha+\varepsilon)(t-t_0)} + \int_{t_0}^t ce^{(\alpha+\varepsilon)(t-s)}\|B(s)\|\|y(s)\|ds,$$

ou

$$e^{-(\alpha+\varepsilon)t}\|y(t)\| \leq c\|y(t_0)\|e^{-(\alpha+\varepsilon)t_0} + \int_{t_0}^t c\|B(s)\|e^{-(\alpha+\varepsilon)s}\|y(s)\|ds.$$

Daqui, usando o lema de Grönwall-Bellman, teremos

$$e^{-(\alpha+\varepsilon)t}\|y(t)\| \leq c\|y(t_0)\|e^{-(\alpha+\varepsilon)t_0} \exp\left(\int_{t_0}^t c\|B(s)\|ds\right).$$

Consequentemente,

$$\|y(t)\| \leq c\|y(t_0)\|e^{(\alpha+\varepsilon)(t-t_0) + c\int_{t_0}^t \|B(s)\|ds} \quad (2.4.10)$$

Usando a regra de L'Hospital³ [1], e tendo em conta as condições do teorema, obtemos

$$\lim_{t \rightarrow \infty} \frac{\int_{t_0}^t \|B(s)\|ds}{t - t_0} = \lim_{t \rightarrow \infty} \frac{\|B(s)\|}{1} = 0.$$

Por isso mesmo,

$$\int_{t_0}^t \|B(s)\|ds < \varepsilon(t - t_0)$$

se $t \geq T$. Daqui, a desigualdade (2.4.10) toma a forma

$$\|y(t)\| \leq c\|y(t_0)\|e^{(\alpha+2\varepsilon)(t-t_0)},$$

se $t > T$, logo, devido à (2.4.8), para qualquer solução $y(t)$ do sistema (2.4.6) é justa a igualdade

$$\lim_{t \rightarrow \infty} y(t) = 0.$$

Deste modo, o sistema (2.4.6) é assintoticamente estável. ■

³Guillaume François A. de L'Hospital (1661-1704) — matemático francês

Capítulo 3

CRITÉRIOS CLÁSSICOS DE ESTABILIDADE

3.1 Critério de Hurwitz

Consideremos a equação diferencial linear com coeficientes reais constantes [7], [8]

$$a_0 y^{(n)} + a_1 y^{(n-1)} + \dots + a_n y = 0, \quad a_0 > 0. \quad (3.1.1)$$

A solução nula $y \equiv 0$ da equação (3.1.1) é assintoticamente estável se todas as raízes da equação característica [7], [8]

$$f(\lambda) = a_0 \lambda^n + a_1 \lambda^{n-1} + \dots + a_n = 0 \quad (3.1.2)$$

tiverem a parte real negativa.

Do ponto de vista de aplicação, grande importância jogam as condições necessária e suficiente para que todas as raízes da equação algébrica (3.1.1) se encontrem à esquerda do eixo imaginário (no caso das equações de 1º e 2º graus esta condição é também suficiente). As condições necessária e suficiente para que sejam negativas as partes reais da equação (3.1.2) foram estabelecidas por Hurwitz¹.

Critério 3.1.1 (de Hurwitz). *Para que todas as raízes da equação (3.1.2) tenham partes reais negativas é necessário e suficiente que sejam positivos todos os menores principais da matriz*

¹Adolf Hurwitz (1859–1919) — matemático alemão

de Hurwitz [7], [8]

$$\begin{pmatrix} a_1 & a_0 & 0 & 0 & \dots & 0 \\ a_3 & a_2 & a_1 & a_0 & \dots & 0 \\ a_5 & a_4 & a_3 & a_2 & \dots & 0 \\ \dots & \dots & \dots & \dots & \dots & \dots \\ 0 & 0 & 0 & 0 & \dots & a_n \end{pmatrix}. \quad (3.1.3)$$

Definição 3.1.1. Diremos que o polinómio $f(\lambda)$, de grau $n \geq 1$, é estável [8], se todas as suas raízes $\lambda_1, \lambda_2, \dots, \lambda_n$ têm as partes reais negativas: $\text{Re } \lambda_j < 0, j = 1, 2, \dots, n$, isto é, todas as raízes do polinómio encontram-se no semi-plano esquerdo.

A matriz de Hurwitz compõe-se do seguinte modo: na diagonal principal situam-se os coeficientes do polinómio (3.1.2), a partir de a_1 até a_n . As colunas são compostas, alternadamente, pelos coeficientes de índice ímpar e pelos coeficientes de índice par (contando-se, entre estes últimos, o coeficiente a_0). Todos os restantes elementos da matriz, correspondentes a índices menores que 0 ou maiores que n , são nulos. Deste modo, os menores principais da matriz de Hurwitz têm a forma

$$\Delta_1 = a_1, \quad \Delta_2 = \begin{vmatrix} a_1 & a_0 \\ a_3 & a_2 \end{vmatrix}, \quad \Delta_3 = \begin{vmatrix} a_1 & a_0 & 0 \\ a_3 & a_2 & a_1 \\ a_5 & a_4 & a_3 \end{vmatrix}, \dots, \quad \Delta_n = \begin{vmatrix} a_1 & a_0 & 0 & 0 & \dots & 0 \\ a_3 & a_2 & a_1 & a_0 & \dots & 0 \\ a_5 & a_4 & a_3 & a_2 & \dots & 0 \\ \dots & \dots & \dots & \dots & \dots & \dots \\ 0 & 0 & 0 & 0 & \dots & a_n \end{vmatrix}.$$

O algoritmo para construir a matriz de Hurwitz (na linguagem Visual Basic 6.0) está ilustrado abaixo.

```

Sub Build_Matrices()
  For n=1 To System_DIM 'System_DIM é o grau da equação
    For m = 1 To System_DIM
      If (n Mod 2 = 0) Then
        If (2*m-n)>= 0 And 2*m-n<= System_DIM) Then
          Matrix_A(m, n)=Val(Text3(2 * m - n)) 'Text3(.) é
          onde estão guardados os coeficientes da equação
        Else
          Matrix_A(m, n) = 0
        End If
      Else
        If (2*m - n>0 And 2*m-n<= System_DIM) Then
          Matrix_A(m, n)=Val(Text3(2 * m - n))
        Else
          Matrix_A(m, n) = 0
        End If
      End If
    End For
  End For
End Sub

```

```

        End If
    Next m
Next n
End Sub

```

A condição de Hurwitz tem o seguinte enunciado: *para a estabilidade assintótica da solução $y = 0$ da equação (3.1.2) é necessário e suficiente que sejam satisfeitas as desigualdades*

$$\Delta_1 > 0, \quad \Delta_2 > 0, \quad \dots, \quad \Delta_n > 0. \quad (3.1.4)$$

Notemos que, uma vez que $\Delta_n = a_n \Delta_{n-1}$, então a condição $\Delta_n > 0$ pode ser substituída pela exigência $a_n > 0$. Se encontrarmos um menor principal negativo, então conclui-se que a solução é instável e não é necessário prosseguir os cálculos. O algoritmo para as condições necessária e suficiente de Hurwitz para a estabilidade assintótica da equação (3.1.1) está indicado a seguir.

```

Sub respostas()
Dim c As Integer
c = 0
For i = 0 To System_DIM - 1
    Label1(i).Caption = "D" & System_DIM - i
Next i
For k = 0 To System_DIM - 1
    Text2(k).Visible = True
Next k
'Para mostrar a solução: estável/instável
For n = 0 To System_DIM
    If (Cdbl(Text2(j).Text) < 0) Then
        c = c + 1
    End If
Next n
If c > 0 Then
    Label4.Caption = "A solução nula da ED é instável."
Else
    Label4.Caption = "A solução nula da ED é assintoticamente estável."
End If
End Sub

```

Neste algoritmo `Text2(j).Text` é onde estão guardados os valores de $\Delta_1, \Delta_2, \dots$. Os cálculos podem ser efectuados do seguinte modo: começa-se por escrever o menor principal Δ_n de maior dimensão. Depois calculamos, sucessivamente, os menores $\Delta_{n-1}, \Delta_{n-2}$, e etc.

O algoritmo completo que permite testar a estabilidade da solução nula de uma dada equação diferencial está ilustrado abaixo.

```

-----
Private Sub Form_Load()
    Me.Left = (Screen.Width - Me.Width) / 2

```

```
Me.Top = (Screen.Height - Me.Height) / 2
For n = 1 To 6
    Combo1.AddItem n 'Coloca opções 1-6
Next n Combo1.Text = 2 'Dimensão padrão
Call Hide_Show_Textboxes
End

-----
Sub Private Sub Combo1_Click()
    Call Hide_Show_Textboxes
-----

Sub Hide_Show_Textboxes()
    System_DIM = Val(Combo1.Text) 'dimensão da equação
    For n = 0 To 24 'Esconde a matriz
        Text1(n).Visible = False
    Next n
    'Esconde os campos dos Coeficientes
    For n = 0 To 5
        Text3(n).Visible = False
    Next n
    'Esconde os valores dos determinantes
    For n = 0 To 4
        Text2(n).Visible = False
    Next n
    For n = 0 To 5 'Esconde os y
        Label11(n).Visible = False
    Next n
    ' Mostra os y necessários
    For n = 0 To System_DIM
        Label11(n).Visible = True
    Next n
    'Esconde os D que acompanham os determinantes
    For i = 0 To 4
        Label1(i).Visible = False
    Next i
    'Esconde os a0..a5 que acompanham os coeficientes da equação
    For i = 0 To 5
        Label5(i).Visible = False
    Next i
    'Esconde onde aparece a solução
    Label4.Visible = False
    For n
    = 0 To System_DIM
        Text3(n).Visible = True
    Next n
    'Mostra os D que acompanham os determinantes
    For i = 0 To System_DIM - 1
        Label1(i).Visible = True
    Next i
    'Esconde os a0..a5 que acompanham os coeficientes da equação
```

```
For i = 0 To System_DIM
    Label5(i).Visible = True
Next i
For i = 0 To 4 '9
    Label13(i).Visible = False
Next i
For i = 0 To System_DIM - 1
    Label13(i).Visible = True
Next i
Label4.Visible = True
For i = 0 To System_DIM - 1
    Label13(i).Caption = "(" & System_DIM - i & ")"
Next i
End Sub

-----

'Constrói a matriz de Hurwitz
Sub Build_Matrices() For n = 1 To
System_DIM
    For m = 1 To System_DIM
        If (n Mod 2 = 0) Then
            If (2 * m - n >= 0 And 2 * m - n <= System_DIM) Then
                Matrix_A(m, n) = Val(Text3(2 * m - n))
            Else
                Matrix_A(m, n) = 0
            End If
        Else
            If (2 * m - n > 0 And 2 * m - n <= System_DIM) Then
                Matrix_A(m, n) = Val(Text3(2 * m - n))
            Else
                Matrix_A(m, n) = 0
            End If
        End If
    Next m
Next n
End Sub

-----

Private Sub cmdShow_Click()
    Dim c, i As Integer
    c = 0
    For i = 0 To System_DIM
        If Text3(i).Text = "" Then
            c = c + 1
        End If
    Next i
    'verifica se todos coeficientes foram introduzidos
    If c > 0 Then
        message$ = "Ocorreu um erro. Verifique se todos os campos foram preenchidos."
        response = MsgBox(message$, vbCritical)
    Else
```



```

'Continua se não encontrar nenhum campo não preenchido
  For n = 0 To System_DIM - 1
    For k = 0 To 5 * (System_DIM - 1) Step 5
      Text1(n + k).Visible = True
    Next k
  Next n
Call Build_Matrices
Call Build_Triangular_Matrix
i = 0
'Copia e mostra os coeficientes da matriz de Hurwitz
For n = 1 To System_DIM
  For m = 1 To System_DIM
    Text1((n - 1) * 5 + (m - 1)).Text = Matrix_A(n, m)
    i = i + 1
  Next m
Next n
End If End Sub
-----
Sub Build_Triangular_Matrix() 'Cria matriz Triangular e calcula
                              'determ.

  For n = 1 To 10
    For m = 1 To 10
      Triangular_A(m, n) = Matrix_A(m, n)
    Next
  Next
'Triangulariza a matriz Matrix_A
For k = 1 To System_DIM - 1
If Triangular_A(k, k) = 0 Then
  For n = k To System_DIM
    If Triangular_A(n, k) <> 0 Then line_1 = n: Exit For
  Next n
  For m = k To System_DIM
    temporary_1 = Triangular_A(k, m)
    Triangular_A(k, m) = Triangular_A(line_1, m)
    Triangular_A(line_1, m) = temporary_1
  Next m
End If
For n = k + 1 To System_DIM
  If Triangular_A(n, k) <> 0 Then 'Se for zero, não mudar
    multiplier_1 = Triangular_A(n, k) / Triangular_A(k, k)
    For m = k To System_DIM + 1
      Triangular_A(n, m) = Triangular_A(n, m) - Triangular_A(k, m) *
        multiplier_1
    Next m
  End If
Next n
Next k
'Calcula determ.
For k = 0 To System_DIM - 1

```

```
Determinant_1 = 1
For n = 1 To System_DIM - k
    Determinant_1 = Determinant_1 * Triangular_A(n, n)
Next n
Text2(k).Text = CStr(Determinant_1) 'Mostras os val. dos determinantes
Next k
Call respostas
End Sub
-----
Private Sub cmdClear_Click() 'Apaga todos os campos
    Dim i As Integer
    For i = 0 To System_DIM
        Text3(i).Text = ""
    Next i
    For n = 1 To System_DIM
        For m = 1 To System_DIM
            Text1((n - 1) * 10 + (m - 1)).Text = ""
            Text1((n - 1) * System_DIM + (m - 1)).Text = ""
            i = i + 1
        Next m
    Next n
    For i = 0 To System_DIM - 1
        Text2(i).Text = ""
    Next i
    For k = 0 To System_DIM - 1
        Label1(k).Caption = ""
    Next k
    Label4.Caption = ""
    Combo1.Text = 2
End Sub
-----
'Para sair do programa
Private Sub cmdQuit_Click()
    End
End Sub
-----
Sub respostas()
    Dim c As Integer
    c = 0
    For i = 0 To System_DIM - 1
        Label1(i).Caption = "D" & System_DIM - i
    Next i
    For k = 0 To System_DIM - 1
        Text2(k).Visible = True
    Next k
    'Para mostrar a solução: estável/instável
    For n = 0 To System_DIM
        If (Cdbl(Text2(j).Text) < 0) Then
            c = c + 1
        End If
    Next n
End Sub
```

```

End If
Next n
If c > 0 Then
    Label4.Caption = "A solução nula da ED é instável."
Else
    Label4.Caption = "A solução nula da ED é assintoticamente estável."
End If
End Sub

```

Basicamente, a forma gráfica do algoritmo anterior, ilustrada na Fig. 3.1, funciona do seguinte modo. Inicialmente escolhe-se o grau e seguidamente preenchem-se os coeficientes da equação. Ao clicar no botão **Matriz de Hurwitz** aparece a matriz de Hurwitz e os determinantes na ordem decrescente assim como a classificação da solução da equação.

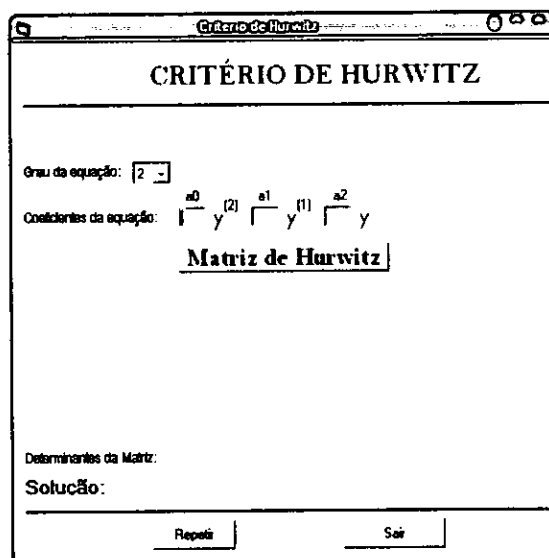


Fig. 3.1

Exemplo 3.1.1. Ao investigarmos a estabilidade da solução nula da equação

$$y^{IV} + 2y''' + 4y'' + 2y' + 5y = 0,$$

determinamos a equação característica

$$\lambda^4 + 2\lambda^3 + 4\lambda^2 + 2\lambda + 5 = 0.$$

Neste caso, $a_0 = 1$, $a_1 = 2$, $a_2 = 4$, $a_3 = 2$, $a_4 = 5$ e assim,

$$\Delta_4 = \begin{vmatrix} 2 & 1 & 0 & 0 \\ 2 & 4 & 2 & 1 \\ 0 & 5 & 2 & 4 \\ 0 & 0 & 0 & 5 \end{vmatrix} = -40 < 0.$$

Como $\Delta_4 < 0$, então a solução nula é instável. A Fig. 3.2 mostra a forma computacional deste exemplo. ■

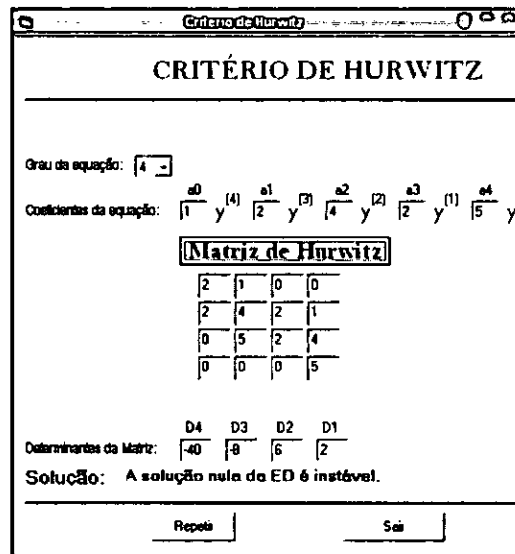


Fig. 3.2

Exemplo 3.1.2. Ao examinar a estabilidade da solução nula da equação

$$y^V + y^{IV} + 7y''' + 4y'' + 10y' + 3y = 0,$$

vê-se claramente que a equação característica tem a forma

$$\lambda^5 + \lambda^4 + 7\lambda^3 + 4\lambda^2 + 10\lambda + 3 = 0.$$

Aqui, $a_0 = 1$, $a_1 = 1$, $a_2 = 7$, $a_3 = 4$, $a_4 = 10$ e $a_5 = 3$. Assim, os menores principais da matriz de Hurwitz serão:

$$\Delta_5 = \begin{vmatrix} 1 & 1 & 0 & 0 & 0 \\ 4 & 7 & 1 & 1 & 0 \\ 3 & 10 & 4 & 7 & 1 \\ 0 & 0 & 3 & 10 & 4 \\ 0 & 0 & 0 & 0 & 3 \end{vmatrix} = 24 > 0, \quad \Delta_4 = \begin{vmatrix} 1 & 1 & 0 & 0 \\ 4 & 7 & 1 & 1 \\ 3 & 10 & 4 & 7 \\ 0 & 0 & 3 & 10 \end{vmatrix} = 8 > 0,$$

$$\Delta_3 = \begin{vmatrix} 1 & 1 & 0 \\ 4 & 7 & 1 \\ 3 & 10 & 4 \end{vmatrix} = 5 > 0, \quad \Delta_2 = \begin{vmatrix} 1 & 1 \\ 4 & 7 \end{vmatrix} = 3 > 0, \quad \Delta_1 = 1 > 0.$$

Daqui, $\Delta_1 > 0$, $\Delta_2 > 0$, $\Delta_3 > 0$, $\Delta_4 > 0$, $\Delta_5 > 0$ e, por conseguinte, a solução nula $y \equiv 0$ é assintoticamente estável. A Fig. 3.3 mostra a forma computacional deste exemplo. ■

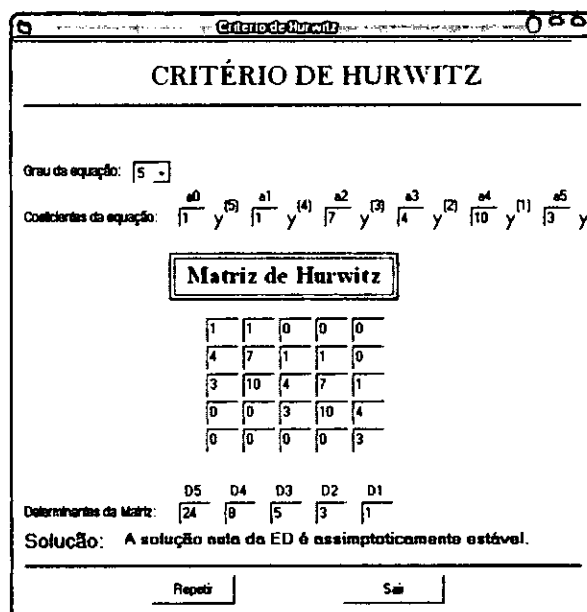


Fig. 3.3

3.2 Critério de Lienard–Chipard

Consideremos a equação diferencial linear com coeficientes reais constantes [7], [8]

$$a_0 y^{(n)} + a_1 y^{(n-1)} + \dots + a_n y = 0, \quad (a_0 > 0), \quad (3.2.1)$$

e a equação característica [7], [8] da equação (3.2.1)

$$f(\lambda) = a_0 \lambda^n + a_1 \lambda^{n-1} + \dots + a_n = 0. \quad (3.2.2)$$

Se os coeficientes da equação (3.2.1) são números constantes, então as condições (3.1.4) verificam-se facilmente. Se os coeficientes da matriz (3.1.3) contêm parâmetros literais, então o cálculo

dos determinantes para k grande é muito trabalhoso.

Pode-se mostrar que se as condições (3.1.4) forem cumpridas, então todos os coeficientes do polinómio (3.2.2) são positivos:

$$a_0 > 0, \quad a_1 > 0, \dots, a_n > 0. \quad (3.2.3)$$

As condições (3.2.3) são necessárias, mas não são suficientes para que todas as raízes da equação (3.2.2) se situem no semi-plano esquerdo $\operatorname{Re}\lambda_i > 0$, $i = 1, 2, \dots, n$. Embora se cumpram as condições (3.2.3), as desigualdades (3.1.4) não são independentes. Assim, por exemplo, para $n = 5$ as condições de Hurwitz reduzem-se às desigualdades $\Delta_2 > 0$, $\Delta_4 > 0$. Os trabalhos de Lienard e Chipard dão a possibilidade de determinar outras condições de estabilidade, nos quais o número de desigualdades de determinantes são menor que os das condições (3.1.4).

Critério 3.2.1. *Para que o polinómio*

$$f(\lambda) = a_0\lambda^n + a_1\lambda^{n-1} + \dots + a_n = 0$$

tenha todas as raízes com as partes reais negativas, é necessário e suficiente que:

1) *todos os coeficientes do polinómio $f(\lambda)$ sejam positivos:*

$$a_0 > 0, \quad a_1 > 0, \quad \dots, \quad a_n > 0;$$

2) *tenham lugar as desigualdades*

$$\Delta_{n-1} > 0, \quad \Delta_{n-3} > 0, \dots$$

Aqui, Δ_k é o determinante de Hurwitz de ordem k . Do Critério 3.2.1 concluímos que, se todas as condições se cumprem, a solução trivial da equação (3.2.1) é assintoticamente estável.

Exemplo 3.2.1. Na equação $y^{IV} + 7y''' + 12y'' + 23y' + 10y = 0$, com equação característica $\lambda^4 + 7\lambda^3 + 12\lambda^2 + 23\lambda + 10 = 0$, onde $a_0 = 1$, $a_1 = 7$, $a_2 = 12$, $a_3 = 23$ e $a_4 = 10$, estão cumpridas as primeiras condições do critério de Lienard-Chipard. Como

$$\Delta_3 = \begin{vmatrix} 7 & 1 & 0 \\ 23 & 12 & 7 \\ 0 & 10 & 23 \end{vmatrix} = 140 > 0, \quad \Delta_1 = 1 > 0,$$

isto é, cumprem-se as condições 2), então a solução trivial é assintoticamente estável. ■

3.3 Critério de Mikhailov

Consideremos uma equação diferencial de ordem n com coeficientes constantes reais [8]

$$a_0 y^{(n)} + a_1 y^{(n-1)} + \dots + a_n y = 0. \quad (3.3.1)$$

O problema sobre a estabilidade de solução da equação diferencial (3.3.1) reduz-se ao problema da disposição de raízes da equação característica [7], [8]

$$a_0 \lambda^n + a_1 \lambda^{n-1} + \dots + a_n = 0, \quad (3.3.2)$$

no plano complexo. Este problema resolve-se usando o critério de Mikhailov, que permite determinar a disposição das raízes da equação (3.3.2) no plano complexo e, por conseguinte, investigar a estabilidade da solução nula da equação (3.3.2).

Seja dado o polinómio característico

$$f(\lambda) = a_0 \lambda^n + a_1 \lambda^{n-1} + \dots + a_{n-1} \lambda + a_n = 0. \quad (3.3.3)$$

Considerando $\lambda = i\omega$, obtemos

$$f(i\omega) = u(\omega) + iv(\omega), \quad (3.3.4)$$

onde

$$\left. \begin{aligned} u(\omega) &= a_n - a_{n-2}\omega^2 + a_{n-4}\omega^4 - \dots \\ v(\omega) &= a_{n-1}\omega - a_{n-3}\omega^3 + a_{n-5}\omega^5 - \dots \end{aligned} \right\} \quad (3.3.5)$$

A grandeza $f(i\omega)$, conforme (3.3.4) e (3.3.5), para o parâmetro dado ω , pode ser representado no plano complexo uOv na forma vectorial. Quando o parâmetro ω varia no intervalo $(-\infty, +\infty)$ o outro extremo deste vector descreve uma certa curva chamada curva de Mikhailov (Fig. 3.4).

Ao variar ω de $-\infty$ até $+\infty$ o vector $f(i\omega)$ gira num certo ângulo φ . Se o polinómio $f(\lambda)$ tem m raízes com as partes reais positivas e as restantes $n-m$ raízes com as partes reais negativas, então

$$\varphi = (n - m)\pi + m(-\pi) = (n - 2m)\pi. \quad (3.3.6)$$

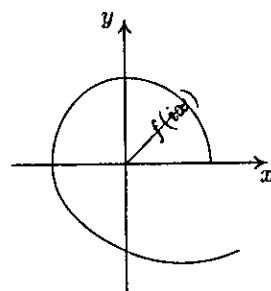


Fig. 3.4

Observação 3.3.1. *Uma vez que a função $u(\omega)$ é par, então a curva de Mikhailov é simétrica em relação ao eixo uOv , portanto é suficiente construir uma parte da curva de Mikhailov que corresponde à variação do parâmetro ω de 0 a $+\infty$. Assim, a fórmula tomará a forma*

$$\varphi = (n - m)\frac{\pi}{2} + m\left(-\frac{\pi}{2}\right) = (n - 2m)\frac{\pi}{2}. \quad (3.3.7)$$

Para a estabilidade da solução da equação (3.3.1) é necessário e suficiente que todas as raízes da equação característica $f(\lambda) = 0$ tenham as partes reais negativas, isto é, na fórmula (3.3.6) tem-se $m = 0$. Daqui, segue o seguinte critério:

Critério 3.3.1 (de Mikhailov). *Para a estabilidade da solução nula da equação (3.3.1) é necessário e suficiente que:*

- (1) *o ângulo de rotação do vector $f(i\omega)$, quando ω varia de 0 a $+\infty$, seja igual a $\varphi = n\frac{\pi}{2}$, isto é, que o vector efectue $\frac{n}{4}$ voltas no sentido anti-horário;*
- (2) *o hodógrafo de $f(i\omega)$, quando ω varia de 0 a $+\infty$, não passe pela origem $(0,0)$.*

Por outras palavras, para a estabilidade da solução da equação (3.3.1) é necessário e suficiente que a curva de Mikhailov percorra consecutivamente n quadrantes da direita para a esquerda, rodando sempre à volta da origem das coordenadas.

Do exposto anteriormente resulta que, para a estabilidade da equação (3.3.1) é necessário (e quando a curva corre da direita para a esquerda também é suficiente) que todas as raízes das equações $u(\omega) = 0$ e $v(\omega) = 0$ sejam reais e intercaladas umas com as outras, isto é, que entre cada duas raízes de uma equação deve encontrar-se uma raiz da outra.

Exemplo 3.3.1. Examinando a estabilidade da solução nula da equação

$$y^{IV} + y''' + 4y'' + y' + y = 0,$$

determinamos a equação característica

$$f(\lambda) = \lambda^4 + \lambda^3 + 4\lambda^2 + \lambda + 1 = 0.$$

Daqui, resulta

$$\begin{aligned} f(i\omega) &= \omega^4 - i\omega^3 - 4\omega^2 + i\omega + 1, \\ u(\omega) &= \omega^4 - 4\omega^2 + 1, \\ v(\omega) &= -\omega^3 + \omega = \omega(1 - \omega)(1 + \omega). \end{aligned}$$

Construímos uma tabela dos valores das funções $u = u(\omega)$ e $v = v(\omega)$, quando $0 \leq \omega < +\infty$.

| | | | | |
|----------|---|-----------------------|----|-----------------------|
| ω | 0 | $\sqrt{2 - \sqrt{3}}$ | 1 | $\sqrt{2 + \sqrt{3}}$ |
| u | 1 | 0 | -2 | 0 |
| v | 0 | + | 0 | - |

Neste caso temos $\lim_{\omega \rightarrow +\infty} \frac{v}{u} = 0$. A curva de Mikhailov está representada na Fig. 3.5.

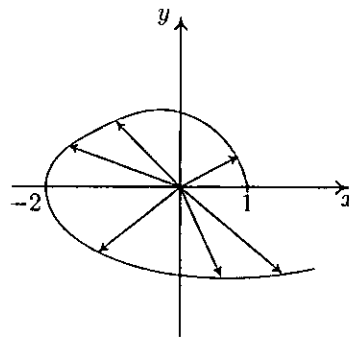


Fig. 3.5

O ângulo de rotação do raio-vector é igual a $\varphi = 4 \cdot \frac{\pi}{2} = (n - 2m) \frac{\pi}{2}$. Daqui, uma vez que $n - 2m = 4$, $n = 4$, conclui-se que $m = 0$, pelo que todas as raízes do polinómio característico se situam no semi-plano esquerdo do plano complexo. Por conseguinte, a solução nula é assintoticamente estável. ■

Capítulo 4

W-MÉTODO. D E C ESTABILIDADE

4.1 Definições básicas

Sejam X e Y dois espaços de Banach, $A : X \mapsto Y$ é um operador linear limitado, A^* é um operador conjugado em relação ao operador A .

Diremos que o operador A (a equação $Ax = y$) é *normalmente solúvel*, se o seu contradomínio $R(A)$ é fechado, isto é, $R(A) = \overline{R(A)}$ [6]. Se o operador A (a equação $Ax = y$) é normalmente solúvel e $\dim Ker A < \infty$, $\dim Ker A^* < \infty$, então diremos que ele (ela) é *noetheriano(a)*. Se o operador A (a equação $Ax = y$) é noetheriano(a) e o seu índice, isto é,

$$ind A \stackrel{\text{def}}{=} \dim Ker A - \dim Ker A^*$$

é igual à zero, então ele (ela) chama-se operador (equação) de *Fredholm* [6], [13].

O operador linear C , que actua do produto directo $X_1 \times X_2$ de espaços lineares X_1 e X_2 no espaço linear Y , define-se pelo par de operadores $C_1 : X_1 \mapsto Y$ e $C_2 : X_2 \mapsto Y$ tal, que $C\{x_1, x_2\} = C_1x_1 + C_2x_2$, $x_1 \in X_1$, $x_2 \in X_2$, onde $C_1x_1 = C\{x_1, 0\}$, $C_2x_2 = C\{0, x_2\}$. Tal operador denotaremos por $C \stackrel{\text{def}}{=} \{C_1, C_2\}$.

O operador linear \mathcal{F} , que actua do espaço linear X no produto directo $Y_1 \times Y_2$ dos espaços lineares Y_1 e Y_2 , define-se pelo par de operadores $\mathcal{F}_1 : X \mapsto Y_1$, $\mathcal{F}_2 : X \mapsto Y_2$ tal, que $\mathcal{F}x = \{\mathcal{F}_1x, \mathcal{F}_2x\}$, $x \in X$. Este operador denotaremos por $\mathcal{F} \stackrel{\text{def}}{=} [\mathcal{F}_1, \mathcal{F}_2]$. Segundo [13], a equação $\mathcal{L}x = f$ chama-se *equação linear diferencial funcional abstracta*, onde $\mathcal{L} : D \mapsto B$ é operador linear limitado, D e B são espaços de Banach, sendo o espaço $D(\mathcal{L}, B)$ isomorfo ao espaço de Banach $B \times \mathbb{R}^n$.

Seja $\mathcal{J} \stackrel{\text{def}}{=} \{\Lambda, Y\} : \mathbf{B} \times \mathbb{R}^n \mapsto \mathbf{D}$ um isomorfismo algébrico e $\mathcal{J}^{-1} \stackrel{\text{def}}{=}} [\delta, r] : \mathbf{D} \mapsto \mathbf{B} \times \mathbb{R}^n$. As normas nos espaços $\mathbf{B} \times \mathbb{R}^n$ e \mathbf{D} definiremos do seguinte modo:

$$\|\{z, \beta\}\|_{\mathbf{B} \times \mathbb{R}^n} \stackrel{\text{def}}{=} \|z\|_{\mathbf{B}} + |\beta|, \quad \|x\|_{\mathbf{D}} \stackrel{\text{def}}{=} \|\delta x\|_{\mathbf{B}} + |rx|.$$

Neste caso os espaços $\mathbf{B} \times \mathbb{R}^n$ e \mathbf{D} são isométricos.

Tendo em consideração que os operadores limitados \mathcal{J} e \mathcal{J}^{-1} são mutuamente invertíveis, então

$$x = \Lambda \delta x + Y r x, \quad x \in \mathbf{D}, \quad (4.1.1)$$

$$\delta(\Lambda z + Y \beta) = z, \quad r(\Lambda z + Y \beta) = \beta, \quad \{z, \beta\} \in \mathbf{B} \times \mathbb{R}^n.$$

Destas igualdades conclui-se que

$$\Lambda \delta + Y r = I, \quad \delta \Lambda = I, \quad \delta Y = \mathcal{O}, \quad r \Lambda = \mathcal{O}, \quad r Y = I.$$

Vamos identificar o operador $Y : \mathbb{R}^n \mapsto \mathbf{D}$ com o vector (y_1, \dots, y_n) , $y_i \in \mathbf{D}$, $i = 1, \dots, n$ tal, que

$$Y \beta \stackrel{\text{def}}{=} \sum_{i=1}^n y_i \beta_i, \quad \beta = \text{col}\{\beta_1, \dots, \beta_n\}.$$

Aplicando o operador \mathcal{L} à ambas as partes da igualdade (4.1.1) obtemos a decomposição

$$\mathcal{L}x = Q \delta x + A r x. \quad (4.1.2)$$

Aqui $Q \stackrel{\text{def}}{=} \mathcal{L} \Lambda : \mathbf{B} \mapsto \mathbf{B}$ é a "parte principal", $A \stackrel{\text{def}}{=} \mathcal{L} Y : \mathbb{R}^n \mapsto \mathbf{B}$ é a "parte finita" do operador \mathcal{L} . O operador $Q : \mathbf{B} \mapsto \mathbf{B}$ é de Fredholm [6] só e sómente só, quando ele admite a representação $Q = P^{-1} + V$ ($Q = P_1^{-1} + V_1$), onde $P^{-1} : \mathbf{B} \mapsto \mathbf{B}$ é operador inverso em relação ao operador limitado $P : \mathbf{B} \mapsto \mathbf{B}$, $V : \mathbf{B} \mapsto \mathbf{B}$ é um operador finito ($P_1^{-1} : \mathbf{B} \mapsto \mathbf{B}$ é operador inverso em relação ao operador limitado $P_1 : \mathbf{B} \mapsto \mathbf{B}$, $V_1 : \mathbf{B} \mapsto \mathbf{B}$ é operador completamente contínuo). O operador $Q = I + V$ é também um operador de Fredholm se uma certa potência do operador V é completamente contínuo. Segundo [13], o operador $Q = I + V$ chamaremos operador *canónico de Fredholm*, se o operador $V : \mathbf{B} \mapsto \mathbf{B}$ fôr completamente contínuo.

Teorema 4.1.1. *O operador $\mathcal{L} : \mathbf{D} \mapsto \mathbf{B}$ é noetheriano só e sómente só, quando a sua parte principal $Q : \mathbf{B} \mapsto \mathbf{B}$ é noetheriana. Neste caso tem lugar a igualdade $\text{ind } \mathcal{L} = \text{ind } Q + n$.*

Teorema 4.1.2. *Seja $\mathcal{L} : \mathbf{D} \mapsto \mathbf{B}$ um operador de Noether, $\text{ind } \mathcal{L} = n$. A dimensão do núcleo do operador \mathcal{L} não é menor do que n , sendo igual a n só e sómente só, quando a equação $\mathcal{L}x = f$ é solúvel no espaço \mathbf{D} , qualquer que seja $f \in \mathbf{B}$.*

O espaço D define-se pela igualdade $D = \mathcal{W}B \oplus \mathcal{U}\mathbb{R}^N$. Se o operador \mathcal{L} actua do espaço D no espaço B e o operador $\mathcal{L}\mathcal{W} : B \mapsto B$ é invertível ou, pelo menos, é um operador de Fredholm, então a equação $\mathcal{L}x = f$ deixa de ser singular.

Seja $\ell = [\ell_1, \dots, \ell_m] : D \mapsto \mathbb{R}^m$ um vector-funcional linear limitado, $\alpha = \text{col}\{\alpha_1, \dots, \alpha_m\}$, $\alpha \in \mathbb{R}^m$. Ao sistema de equações

$$\mathcal{L}x = f, \quad \ell x = \alpha \quad (4.1.3)$$

chamaremos *problema linear de fronteira*. Este problema podemos escrever numa forma mais compacta:

$$[\mathcal{L}, \ell]x = \{f, \alpha\}.$$

O caso específico do problema (4.1.3), quando $\ell \equiv r$, chamaremos *problema principal de fronteira*.

Se $R(\mathcal{L}) = B$, $\dim \text{Ker } \mathcal{L} = n$, então a questão sobre a resolubilidade do problema (4.1.3) resume-se à resolubilidade do sistema linear de equações algébricas com matriz $\ell\mathcal{X} = (\ell_i x_j)$, $i = 1, \dots, m$, $j = 1, \dots, n$, onde $\mathcal{X} = (x_1, \dots, x_n)$ é o *vector fundamental* da equação $\mathcal{L}x = 0$. Realmente, a solução geral da equação $\mathcal{L}x = f$ é

$$x = v + \sum_{j=1}^n c_j x_j, \quad (4.1.4)$$

onde v é a solução particular desta equação, c_1, \dots, c_n são constantes arbitrárias. Aplicando o vector funcional ℓ à ambas as partes de (4.1.4) obtemos

$$\alpha_i = \ell_i x = \ell_i \left(v + \sum_{j=1}^n c_j x_j \right) = \ell_i v + \sum_{j=1}^n c_j \ell_i x_j, \quad i = 1, \dots, m.$$

O problema (4.1.3) é unicamente solúvel, para quaisquer $f \in B$ e $\alpha \in \mathbb{R}^m$, só e sómente só, quando o sistema

$$\sum_{j=1}^n c_j \ell_i x_j = \beta_i, \quad i = 1, \dots, m$$

é unicamente solúvel, qualquer que seja $\beta_i \stackrel{\text{def}}{=} \alpha_i - \ell_i v \in \mathbb{R}^1, i = 1, \dots, m$. As condições necessária e suficiente para tal solubilidade são: $m = n$ e $\det \ell\mathcal{X} \neq 0$. A expressão $\det \ell\mathcal{X}$ chama-se *determinante* do problema (4.1.3).

Suponhamos que o problema (4.1.3) é unicamente solúvel, qualquer que seja $f \in B$ e $\alpha \in \mathbb{R}^m$. Denotemos $\{\mathcal{G}, \mathcal{X}\} \stackrel{\text{def}}{=} [\mathcal{L}, \ell]^{-1}$. Então, a solução $x \in D$ do problema (4.1.3) tem a representação

$$x = \mathcal{G}f + \mathcal{X}\alpha,$$

onde \mathcal{G} é *operador de Green* para o problema de fronteira (4.1.3), $\mathcal{X} = (x_1, \dots, x_n)$ é o vector fundamental da equação $\mathcal{L}x = 0$, que satisfaz a condição $\ell\mathcal{X} = E$, E é matriz unitária de dimensão $n \times n$.

Aplicando o vector funcional ℓ à ambas as partes da igualdade (4.1.1) obtemos a decomposição $\ell x = \Phi\delta x + \Psi r x$, onde $\Phi \stackrel{\text{def}}{=} \ell\Lambda : \mathbf{B} \mapsto \mathbb{R}^n$ é um vector funcional limitado, $\Psi \stackrel{\text{def}}{=} \ell Y : \mathbb{R}^n \mapsto \mathbb{R}^n$ é um operador finito.

4.2 Construção de domínio de estabilidade

A teoria de estabilidade de equações diferenciais considera o problema de estabilidade com respeito ao segundo membro f da equação [15]

$$\mathcal{L}x = f.$$

Denotemos por \mathbf{Y} a multivariiedade linear de funções $x : [0, \infty) \rightarrow \mathbb{R}^n$ absolutamente contínuas em qualquer intervalo finito $[0, b]$, por \mathbf{Z} uma multivariiedade linear de funções somáveis $z : [0, \infty) \rightarrow \mathbb{R}^n$ em qualquer intervalo finito $[0, b]$. Suponhamos que $\mathcal{L}_0 : \mathbf{Y} \rightarrow \mathbf{Z}$ e suponhamos que o problema de Cauchy $\mathcal{L}_0 x = z$, $x(0) = \alpha$ tem uma solução única $x \in \mathbf{Y}$ para cada $\{z, \alpha\} \in \mathbf{Z} \times \mathbb{R}^n$ e a solução tem a representação [15]

$$x(t) = \int_0^t W(t, s)z(s) ds + U(t)\alpha \stackrel{\text{def}}{=} (\mathcal{W}z)(t) + (\mathcal{U}x(0))(t) \quad (4.2.1)$$

na forma explícita. Chamaremos à equação $\mathcal{L}_0 x = z$ de **equação modelo**. Seja $\mathbf{B} \subset \mathbf{Z}$ uma multivariiedade linear de elementos $z \in \mathbf{Z}$. Então, (4.2.1) define para cada $\{z, \alpha\} \in \mathbf{B} \times \mathbb{R}^n$ o elemento $x \in \mathbf{Y}$ da equação $\mathcal{W}\mathbf{B} + \mathcal{U}\mathbb{R}^n \stackrel{\text{def}}{=} \mathbf{D}(\mathcal{L}_0, \mathbf{B})$. A multivariiedade $\mathbf{D}(\mathcal{L}_0, \mathbf{B})$ consiste de todas as soluções da equação modelo $\mathcal{L}_0 x = z$ para todo $z \in \mathbf{B}$.

Junto com $\mathcal{L}_0 x = z$ considere-se a equação $\mathcal{L}x = f$ com o operador linear de Volterra¹[14] $\mathcal{L} : \mathbf{Y} \rightarrow \mathbf{Z}$ supondo que o problema de Cauchy $\mathcal{L}x = f$, $x(0) = \alpha$ tem a solução única $x \in \mathbf{Y}$ e para esta solução é válida a fórmula de Cauchy

$$x(t) = \int_0^t C(t, s)f(s)ds + X(t)x(0) \stackrel{\text{def}}{=} (Cf)(t) + (\mathcal{X}x(0))(t).$$

¹Vito Volterra (1860-1940) — matemático italiano

A forma explícita dos operadores $\mathcal{C} : \mathbf{Z} \rightarrow \mathbf{Y}$ e $\mathcal{X} : \mathbb{R}^n \rightarrow \mathbf{Y}$ pode ser desconhecida. Todas as soluções de $\mathcal{L}x = f$ para todo $f \in \mathbf{B}$ consistem na multivariabilidade linear

$$D(\mathcal{L}, \mathbf{B}) = \mathcal{C}\mathbf{B} + \mathcal{X}\mathbb{R}^n.$$

Diremos que a equação $\mathcal{L}x = f$ possui D_0 -propriedade (a equação é D_0 -estável) se as multivariabilidades $D(\mathcal{L}_0, \mathbf{B})$ e $D(\mathcal{L}, \mathbf{B})$ coincidem.

A igualdade $D(\mathcal{L}_0, \mathbf{B}) = D(\mathcal{L}, \mathbf{B})$ garante a existência de mesmas propriedades das soluções de $\mathcal{L}x = f$. Vamos clarificar o que foi dito com exemplos.

Exemplo 4.2.1. [15] Seja $\mathcal{L}_0x \stackrel{\text{def}}{=} \dot{x} + x$. Então o elemento $x \in D(\mathcal{L}_0, \mathbf{B})$ tem a forma

$$x(t) = e^{-t} \int_0^t e^s z(s) ds + e^{-t} \alpha.$$

Seja \mathbf{B}^0 uma multivariabilidade dos elementos $z \in \mathbf{Z}$ tal que $\sup_{t \leq 0} \|z(t)\|_{\mathbb{R}^n} < \infty$, e \mathbf{B}^γ a multivariabilidade de funções da forma $z(t) = e^{-\gamma t} y(t)$, onde $y \in \mathbf{B}^0$, $0 < \gamma$. Então a $D(\mathcal{L}_0, \mathbf{B})$ -propriedade de $\mathcal{L}x = f$ garante a limitação de qualquer solução $\left(\sup_{t \leq 0} \|z(t)\|_{\mathbb{R}^n} < \infty \right)$, se $\mathbf{B} = \mathbf{B}^0$ e a existência da estimativa exponencial $\|x(t)\|_{\mathbb{R}^n} \leq M_x e^{-\gamma t}$, se $\mathbf{B} = \mathbf{B}^\gamma$. Desta forma $D(\mathcal{L}_0, \mathbf{B}^0)$ -estabilidade garante a estabilidade de Lyapunov de soluções de $\mathcal{L}x = f$ e $D(\mathcal{L}_0, \mathbf{B}^\gamma)$ -estabilidade garante a estabilidade exponencial. ■

Exemplo 4.2.2. [15] Seja

$$(\mathcal{L}_0x)(t) = \begin{Bmatrix} \dot{x}_1(t) \\ \dot{x}_2(t) \end{Bmatrix} + \begin{pmatrix} 1 & 0 \\ 0 & -1 \end{pmatrix} \begin{Bmatrix} x_1(t) \\ x_2(t) \end{Bmatrix} = \begin{Bmatrix} z_1(t) \\ z_2(t) \end{Bmatrix}.$$

Então os componentes x_1 e x_2 do elemento $x = \text{col}\{x_1, x_2\}$ de $D(\mathcal{L}_0, \mathbf{B})$ são definidos por

$$x_1(t) = e^{-t} \int_0^t e^s z_1(s) ds + e^{-t} \alpha_1, \quad x_2(t) = e^t \int_0^t e^{-s} z_2(s) ds + e^t \alpha_2.$$

Neste caso a $D(\mathcal{L}_0, \mathbf{B}^\gamma)$ -estabilidade garante a estabilidade exponencial de soluções de $\mathcal{L}x = f$ em relação ao primeiro componente. ■

Seja \mathbf{V} um espaço de Banach de funções $x : [0, \infty) \rightarrow \mathbb{R}^1$ com a norma $\|\cdot\|_{\mathbf{V}}$. Diremos que a equação $\mathcal{L}x = f$ é \mathbf{V} -estável, se a solução x do problema de Cauchy $\mathcal{L}x = f$, $x(0) = \alpha$

pertence a V para cada $\{f, \alpha\} \in B \times \mathbb{R}^n$ e esta solução depende continuamente de f e α : para qualquer $\varepsilon > 0$ existe $\delta > 0$ tal que $\|x - x_1\|_V < \varepsilon$, se $\|f - f_1\|_B < \delta$, $\|\alpha - \alpha_1\|_{\mathbb{R}^n} < \delta$, onde x_1 é a solução do problema de Cauchy $\mathcal{L}x = f_1$, $x(0) = \alpha_1$.

A V - estabilidade significa que $D(\mathcal{L}, B) \subset V$ e os operadores $\mathcal{C} : B \rightarrow V$ e $\mathcal{X} : \mathbb{R}^n \rightarrow V$ são limitados.

Além da continuidade de $D(\mathcal{L}, B) \subset V$, existe uma constante $k > 0$ tal que $\|x\|_V \leq k\|x\|_{D(\mathcal{L}, B)}$. Realmente, seja

$$k = \max\{\|\mathcal{C}\|_{B \rightarrow V}, \|\mathcal{X}\|_{\mathbb{R}^n \rightarrow V}\}.$$

Se $x \in D(\mathcal{L}, B)$, $x = \mathcal{L}f + \mathcal{X}\alpha$,

$$\|x\|_V \leq k(\|f\|_B + \|\alpha\|_{\mathbb{R}^n}) = k(\|\mathcal{L}x\|_B + \|\alpha\|_{\mathbb{R}^n}) = k\|x\|_{D(\mathcal{L}, B)}.$$

Lema 4.2.1. *Seja $\mathcal{L} : D(\mathcal{L}_0, B) \rightarrow B$ e limitado, a equação $\mathcal{L}x = f$ é D_0 -estável e $D(\mathcal{L}_0, B) \subset V$ contínuo. Então a equação é V -estável.*

Demonstração. É suficiente provar a limitação de $\mathcal{C} : B \rightarrow V$ e $\mathcal{X} : \mathbb{R}^n \rightarrow V$. Uma vez que a equação é D_0 -estável os operadores $\mathcal{C} : B \rightarrow D(\mathcal{L}_0, B)$ e $\mathcal{X} : \mathbb{R}^n \rightarrow D(\mathcal{L}_0, B)$ são limitados. $D(\mathcal{L}_0, B) \subset V$ é contínuo devido as condições. Consequentemente,

$$\|\mathcal{C}f\|_V \leq k\|\mathcal{C}f\|_{D(\mathcal{L}_0, B)} \leq k\|\mathcal{C}\|_{B \rightarrow D(\mathcal{L}_0, B)}\|f\|_B.$$

Aqui,

$$\|\mathcal{C}\|_{B \rightarrow V} \leq k\|\mathcal{C}\|_{B \rightarrow D(\mathcal{L}_0, B)}.$$

A limitação de $\mathcal{X} : \mathbb{R}^n \rightarrow V$ é obtida de modo análogo. ■

Lema 4.2.2. *Suponhamos que $\mathcal{L} : D(\mathcal{L}_0, B) \rightarrow B$ é limitado. Suponhamos adicionalmente que a equação $\mathcal{L}x = f$ é V -estável. Se o operador $\mathcal{L}_0 - \mathcal{L}$ é definido em todo o V e $(\mathcal{L}_0 - \mathcal{L})V \subset B$, a equação $\mathcal{L}x = f$ é $D(\mathcal{L}_0, B)$ -estável.*

Demonstração. Uma vez que $D(\mathcal{L}_0, B) \subset D(\mathcal{L}, B)$, é suficiente provar que a solução $x \in V$ do problema de Cauchy pertence a $D(\mathcal{L}_0, B)$. Reescrevendo o problema na forma

$$\mathcal{L}_0 x = (\mathcal{L}_0 - \mathcal{L})x + f, \quad x(0) = \alpha,$$

vemos que qualquer solução do problema satisfaz à equação

$$x = \mathcal{W}(\mathcal{L}_0 - \mathcal{L})x + \mathcal{W}f + \mathcal{U}\alpha.$$

Uma vez que $\mathcal{W} : B \rightarrow D(\mathcal{L}_0, B)$, qualquer solução $x \in V$ da última equação, e, consequentemente, do problema de Cauchy, pertence a $D(\mathcal{L}_0, B)$. ■

4.3 Escolha e construção da equação modelo

Suponhamos que temos a equação [6], [13]

$$(\mathcal{L}x)(t) \stackrel{\text{def}}{=} \dot{x}(t) + A(t)x(t) = f(t), \quad t \in [0, +\infty), \quad (4.3.1)$$

onde f e a matriz A , de ordem $n \times n$, são localmente somáveis em $[0, +\infty)$. Como é conhecido [13], [15] a solução geral x da equação (4.3.1) define-se segundo a fórmula de Cauchy

$$x(t) = X(t)x(0) + \int_0^t C(t, s)f(s)ds,$$

onde $C(t, s) \stackrel{\text{def}}{=} X(t)X^{-1}(s)$ é a matriz de Cauchy da equação (4.3.1), X é a matriz fundamental das soluções da equação homogênea $\mathcal{L}x = 0$, sendo $X(0) = E$, onde E é matriz unitária de ordem $n \times n$. A igualdade $x = Cf + X\alpha$, onde C é o operador de Cauchy, define para cada par $f \in L_\infty, \alpha \in \mathbb{R}^n$, o elemento x da multivariiedade linear $\mathbf{D} \stackrel{\text{def}}{=} \mathbf{D}(\mathcal{L}, L_\infty)$ de todas as soluções da equação (4.3.1). Esta multivariiedade \mathbf{D} torna-se um espaço de Banach se a norma for definida segundo a igualdade

$$\|x\|_{\mathbf{D}} \stackrel{\text{def}}{=} \|\mathcal{L}x\|_{L_\infty} + |\alpha|.$$

Daqui em diante vamos considerar que as colunas da matriz A e a função f pertencem ao espaço L_∞ . Denote-se por U a matriz fundamental da equação modelo

$$(\mathcal{L}_0x)(t) \stackrel{\text{def}}{=} \dot{x}(t) + A_0(t)x(t) = z(t), \quad t \in [0, +\infty), \quad (4.3.2)$$

onde z e as colunas da matriz A_0 pertencem ao espaço L_∞ . O operador de Cauchy \mathcal{W} desta equação define-se pela igualdade

$$(\mathcal{W}z)(t) \stackrel{\text{def}}{=} \int_0^t W(t, s)z(s) ds,$$

onde $W(t, s) \stackrel{\text{def}}{=} U(t)U^{-1}(s)$ é a matriz de Cauchy da equação (4.3.2). A igualdade $x = \mathcal{W}z + U\alpha$ define, para cada par $z \in L_\infty, \alpha \in \mathbb{R}^n$, o elemento x da multivariiedade linear $\mathbf{D}_0 \stackrel{\text{def}}{=} \mathbf{D}(\mathcal{L}_0, L_\infty)$ de todas as soluções da equação (4.3.2). Esta multivariiedade \mathbf{D}_0 torna-se em espaço de Banach se a norma for definida segundo a igualdade

$$\|x\|_{\mathbf{D}_0} \stackrel{\text{def}}{=} \|\mathcal{L}_0x\|_{L_\infty} + |\alpha|.$$

Suponhamos, que o operador \mathcal{W} actua de L_∞ em C . Como se sabe [16] a condição

$$\sup_{t \geq 0} \int_0^t |W(t, s)| ds < \infty \quad (4.3.3)$$

é necessária e suficiente para que o operador \mathcal{W} actue de \mathbf{L}_∞ em \mathbf{C} .

Se a condição (4.3.3) cumpre-se, para qualquer $z \in \mathbf{L}_\infty$, cada solução $x = \mathcal{W}z + Ux(0)$ da equação $\mathcal{L}_0x = z$ pertence ao espaço \mathbf{C} . Neste caso diremos, que a equação (4.3.2) é \mathbf{C} estável [12]. Como está demonstrado [5], [18], [20], nestas condições para a matriz de Cauchy $W(t, s)$ da equação (4.3.2), para certos $M > 0$ e $\beta > 0$, cumpre-se a desigualdade

$$|W(t, s)| \leq Me^{-\beta(t-s)}, \quad 0 \leq s \leq t < \infty. \quad (4.3.4)$$

Nos trabalhos [9], [10], [11] demonstram-se afirmações que nós reformularemos aqui de forma adequada aos nossos objectivos.

Teorema 4.3.1. *Suponhamos que a equação (4.3.2) é \mathbf{C} estável. O espaço \mathbf{D} de todas as soluções da equação $\mathcal{L}x = f$, para todo $f \in \mathbf{L}_\infty$, coincide com o espaço \mathbf{D}_0 de todas as soluções do problema modelo $\mathcal{L}_0x = z$, para todo $z \in \mathbf{L}_\infty$, sendo as normas $\|\cdot\|_{\mathbf{D}}$ e $\|\cdot\|_{\mathbf{D}_0}$ equivalentes só e sómente só, quando existe o operador invertível $\mathcal{Q}^{-1} \stackrel{\text{def}}{=} (\mathcal{L}\mathcal{W})^{-1} : \mathbf{L}_\infty \mapsto \mathbf{L}_\infty$.*

No caso quando os espaços de Banach \mathbf{D} e \mathbf{D}_0 coincidem diremos [11], [12] que a equação (4.3.1) é \mathbf{D}_0 -estável.

Observação 4.3.1. *Nas condições do Teorema 4.3.1 a \mathbf{D}_0 -estabilidade da equação (4.3.1) é equivalente à \mathbf{C} -estabilidade desta equação e equivalente à coincidência dos espaços de Banach \mathbf{D} , \mathbf{D}_0 e \mathbf{W}_∞^1 [6], [12].*

De notar que se a desigualdade (4.3.3) cumpre-se, então a \mathbf{D}_0 -estabilidade da equação (4.3.1) garante a estabilidade exponencial e a dependência contínua das soluções desta equação em relação à f . Realmente, dos resultados do trabalho [18] deriva o seguinte teorema.

Teorema 4.3.2. *Suponhamos que a equação (4.3.2) é \mathbf{C} estável. A \mathbf{D}_0 -estabilidade da equação (4.3.1) é equivalente ao facto de que a matriz de Cauchy $C(t, s)$ desta equação admite, para certos $N > 0$ e $\alpha > 0$, a estimação*

$$|C(t, s)| \leq Ne^{-\alpha(t-s)}, \quad 0 \leq s \leq t < +\infty.$$

Destas afirmações segue que o sucesso da investigação da estabilidade das soluções da equação $\mathcal{L}x = f$ depende da escolha da equação modelo.

Na construção da equação modelo propôs-se [6] a seguinte ideia. Suponhamos que a função-matriz U , com componentes absolutamente contínuas, é tal que tem lugar $U(0) = E$ e $\det U(t) \neq 0$ para qualquer $t > 0$, e para a função-matriz $W(t, s) \stackrel{\text{def}}{=} U(t)U^{-1}(s)$ cumpre-se pelo menos uma das condições (4.3.3) ou (4.3.4). Então, a expressão $A_0(t) \stackrel{\text{def}}{=} -\dot{U}(t)U^{-1}(t)$ define a equação modelo da equação (4.3.2), cujo operador de Cauchy \mathcal{W} é conhecido.

Para qualquer função-matriz U , de ordem $n \times n$, o problema para obtenção da matriz A_0 é insolúvel. Por isso mesmo vamos investigar certos casos especiais da matriz U , análogos à matriz fundamental de equações com matriz constante.

Para a equação (4.3.2), com matriz constante A_0 de ordem $n \times n$, a matriz fundamental U constrói-se segundo n autovalores (tendo em conta a sua multiplicidade) da matriz A_0 . Aos autovalores da matriz A_0 correspondem funções do tipo

$$e^{\alpha t}, t^\nu e^{\alpha t}, e^{\lambda t} \cos \mu t, e^{\lambda t} \sin \mu t, t^\nu e^{\lambda t} \cos \mu t, t^\nu e^{\lambda t} \sin \mu t.$$

Estas funções são linearmente independentes e não são iguais à zero simultaneamente em qualquer dos pontos do semi-eixo $[0, +\infty)$.

Vejamos o caso, quando $n = 2$. Escolhemos duas funções quaisquer u_1, u_2 linearmente independentes e absolutamente contínuas, diferentes de zero simultaneamente em nenhum dos pontos do semi-eixo $[0, +\infty)$. Sem limitação da sua essência consideramos $u_1(0) = 1, u_2(0) = 0$. Vamos escolher a matriz U sob a forma:

$$U(t) = \begin{pmatrix} u_1(t) + \alpha u_2(t) & \delta u_2(t) \\ \gamma u_2(t) & u_1(t) + \beta u_2(t) \end{pmatrix}.$$

Suponhamos que $\Delta(t) \stackrel{\text{def}}{=} \det U(t) \neq 0$ para todo $t > 0$. Então,

$$\Delta(t) = \begin{vmatrix} u_1(t) + \alpha u_2(t) & \delta u_2(t) \\ \gamma u_2(t) & u_1(t) + \beta u_2(t) \end{vmatrix} = u_1^2 + (\alpha + \beta)u_1u_2 + (\alpha\beta - \delta\gamma)u_2^2.$$

Por outro lado, como $A_0 = -\dot{U}(t)U^{-1}(t)$, então

$$\begin{aligned} A_0 &= - \begin{pmatrix} \dot{u}_1(t) + \alpha \dot{u}_2(t) & \delta \dot{u}_2(t) \\ \gamma \dot{u}_2(t) & \dot{u}_1(t) + \beta \dot{u}_2(t) \end{pmatrix} \cdot \frac{1}{\Delta(t)} \cdot \begin{pmatrix} u_1(t) + \beta u_2(t) & -\delta u_2(t) \\ -\gamma u_2(t) & u_1(t) + \alpha u_2(t) \end{pmatrix} = \\ &= -\frac{1}{\Delta(t)} \begin{pmatrix} \dot{u}_1u_1 + \beta \dot{u}_1u_2 + \alpha \dot{u}_2u_1 + \delta \dot{u}_2u_2 & \delta(\dot{u}_2u_1 - \dot{u}_1u_2) \\ \gamma(\dot{u}_2u_1 - \dot{u}_1u_2) & \dot{u}_1u_1 + \alpha \dot{u}_1u_2 + \beta \dot{u}_2u_1 + \delta \dot{u}_2u_2 \end{pmatrix}, \end{aligned}$$

onde $c \stackrel{\text{def}}{=} \alpha\beta - \delta\gamma$. Por outro lado,

$$W(t, s) = U(t)U^{-1}(s) = \frac{1}{\Delta(s)} \begin{pmatrix} k_1(t, s) & \delta[u_1(s)u_2(t) - u_1(t)u_2(s)] \\ \gamma[u_1(s)u_2(t) - u_1(t)u_2(s)] & k_2(t, s) \end{pmatrix}$$

onde

$$k_1(t, s) = u_1(t)u_1(s) + \beta u_1(t)u_2(s) + \alpha u_1(s)u_2(t) + cu_2(t)u_2(s)$$

e

$$k_2(t, s) = u_1(t)u_1(s) + \alpha u_1(t)u_2(s) + \beta u_1(s)u_2(t) + cu_2(t)u_2(s).$$

Cálculos imediatos permitem estabelecer que a matriz A_0 satisfaz a condição de Lappo-Danilevskiï, isto é, a matriz A_0 comuta com o seu integral.

O problema de encontrar a matriz A_0 , em Maple 10, pode ser resolvido construindo um programa que permita, a partir de duas funções $u_1(\cdot)$ e $u_2(\cdot)$, encontrar os valores simplificados da matriz. Um dos modelos deste programa está ilustrado abaixo.

```
> wmetodo := proc (u, v, e, f)
  local Delta, k, m, ma, n, delta, gamma, d, x;
  x := alpha+beta;
  Delta := u^2+x*u*v+c*v^2;
  k := simplify((diff(u, t))*u+beta*(diff(u, t))*v+alpha*(diff(v, t))*u+
    c*(diff(v, t))*v, {x = e, C=f});
  m := simplify((diff(u, t))*u+alpha*(diff(u, t))*v+beta*(diff(v, t))*u+
    c*(diff(v, t))*v, {x = e, C=f});
  n := (diff(v, t))*u-(diff(u, t))*v;
  ma := '<|>'('<,>'(k, gamma*n), '<,>'(delta*n, m));
  d := simplify(Delta, {x = e}); #print(d); print();
  Maplets:-Tools:-Set(MMLV1::algebraic=simplify(ma/d, {x=e, c=f}));
end proc;
> wmetodo(exp(t), exp(-t), 0, 0)
```

A última linha deste algoritmo mostra a escolha das funções $u_1(t) = e^t$, $u_2(t) = e^{-t}$ e as restrições $\alpha + \beta = 0$, $c = 0$. Ao considerar as restrições $\alpha = \beta = 0$ e $c = 0$ o algoritmo anterior muda e passa a tomar a seguinte forma.

```
> metodo :=proc (u, v, e, f, c)
  local Delta, k, m, ma, n, delta, gamma, d, x;
  x := alpha+beta;
  Delta := u^2+x*u*v+c*v^2;
```

```

k := simplify((diff(u, t))*u+beta*(diff(u, t))*v+alpha*(diff(v, t))*u+
              c*(diff(v, t))*v, {alpha=e, beta=f, c=c});
m := simplify((diff(u, t))*u+alpha*(diff(u, t))*v+beta*(diff(v, t))*u+
              c*(diff(v, t))*v, {alpha=e, beta=f, c=c});
n := (diff(v, t))*u-(diff(u, t))*v;
ma:= '<|>'('<,>'(k, gamma*n), '<,>'(delta*n, m));
d := simplify(Delta, {alpha=e, beta=f}); #print(d); print();
Maplets:-Tools:-Set(MMLV1::algebraic=simplify(ma/d));
end proc:
> metodo(exp(t), exp(-t), 0, 0, 0)

```

O programa completo que permite encontrar, em Maple 10, a matriz A_0 está ilustrado a seguir.

```

> wmetodo1 := proc (u, v)
  local Delta, k, m, ma, n, delta, gamma, d, x;
  x := alpha+beta;
  Delta := u^2+x*u*v+c*v^2;
  k := simplify((diff(u, t))*u+beta*(diff(u, t))*v+alpha*(diff(v, t))*u+
                c*(diff(v, t))*v);
  m := simplify((diff(u, t))*u+alpha*(diff(u, t))*v+beta*(diff(v, t))*u+
                c*(diff(v, t))*v);
  n := (diff(v, t))*u-(diff(u, t))*v;
  ma:= '<|>'('<,>'(k, gamma*n), '<,>'(delta*n, m));
  d := simplify(Delta);
  Maplets:-Tools:-Set(MMLV1::algebraic=simplify(ma/d));
> end proc:
> wmetodo := proc (u, v, e, f)
  local Delta, k, m, ma, n, delta, gamma, d, x;
  x := alpha+beta;
  Delta := u^2+x*u*v+c*v^2;
  k := simplify((diff(u, t))*u+beta*(diff(u, t))*v+alpha*(diff(v, t))*u+
                c*(diff(v, t))*v, {x = e, C=f});
  m := simplify((diff(u, t))*u+alpha*(diff(u, t))*v+beta*(diff(v, t))*u+
                c*(diff(v, t))*v, {x = e, C=f});
  n := (diff(v, t))*u-(diff(u, t))*v;
  ma:= '<|>'('<,>'(k, delta*n), '<,>'(gamma*n, m));
  d := simplify(Delta, {x = e}); #print(d); print();
  Maplets:-Tools:-Set(MMLV1::algebraic=simplify(ma/d));
> end proc:
> metodo := proc (u, v, e, f, c)
  local Delta, k, m, ma, n, delta, gamma, d, x;
  Delta := u^2+x*u*v+c*v^2;
  k := simplify((diff(u, t))*u+beta*(diff(u, t))*v+alpha*(diff(v, t))*u+

```

```

        c*(diff(v, t))*v, {alpha=e, beta=f, c=c});
m := simplify((diff(u, t))*u+alpha*(diff(u, t))*v+beta*(diff(v, t))*u+
        c*(diff(v, t))*v,{alpha=e, beta=f, c=c});
n := (diff(v, t))*u-(diff(u, t))*v;
ma:= '<|>'('<,>'(k, delta*n), '<,>'(gamma*n, m));
d := simplify(Delta,{alpha=e, beta=f}); #print(d); print();
Maplets:-Tools:-Set(MMLV1::algebraic=simplify(ma/d));
> end proc;
> metodom := proc (u, v, e, f, c,gam,delt)
    local Delta, k, m, ma, n, delta, gamma, d, x;
    x := alpha+beta;
    Delta := u^2+x*u*v+c*v^2;
    k := simplify((diff(u, t))*u+beta*(diff(u, t))*v+alpha*(diff(v,t))*u+
        c*(diff(v, t))*v, {alpha=e, beta=f, c=c});
    m :=simplify((diff(u, t))*u+alpha*(diff(u, t))*v+beta*(diff(v,t))*u+
        c*(diff(v, t))*v,{alpha=e, beta=f, c=c});
    n := (diff(v, t))*u-(diff(u, t))*v;
    ma:= '<|>'('<,>'(k, gamma*n), '<,>'(delta*n, m));
    d := simplify(Delta,{alpha=e, beta=f}); #print(d); print();
    Maplets:-Tools:-Set(MMLV1::algebraic=simplify(ma/d,{gamma=gam,delta=delt}));
> end proc;
> use Maplets:-Elements in
    maplet := Maplet(
        onstartup = RunWindow(W1),
        Window[W1]
        ( "Equação Modelo",
            MenuBar(Menu("File", MenuItem("Clear", 'onclick'='clear'),
                MenuItem("Exit", Shutdown() )),
            Menu("Gallery", MenuItem("Exemplo 1", 'onclick'='exemplo1'),
                MenuItem("Exemplo 2", 'onclick'='exemplo2'),
                MenuItem("Exemplo 3", 'onclick'='exemplo3')),
            Menu("Help", MenuItem("Help", Shutdown()),
                MenuItem("About Equação Modelo", Shutdown()))
        ),
    [
        ["Função 1: ",TextField['f1'](30)," "],
        ["Função 2: ",TextField['f2'](30)," "],
        ["Restrições 1: ", "alpha+beta =",TextField['r1'](2),
            "c =",TextField['c1'](2)," "],
        ["Restrições 2: ", "alpha =", TextField['r2'](2),
            "beta =",TextField['r21'](2),
            "c =",TextField['c2'](2)," "],
        ["Restrições 3: ", "gamma =", TextField['r3'](2),

```

```

        "delta =", TextField['r31'](2), "  "],
[""],
MathMLViewer['MMLV1']('width'=500,'height'=400),
[Button("Mostrar a Matriz Sem Restrições",
        Action(Evaluate(function = 'wmetodo1(f1,f2)')))],
[Button("Mostrar a Matriz R1",
        Action(Evaluate(function = 'wmetodo(f1,f2,r1,c1)'))),
Button("Mostrar a Matriz R2",
        Action(Evaluate(function = 'metodo(f1,f2,r2,r21,c2)'))),
Button("Mostrar a Matriz R3",
        Action(Evaluate(function = 'metodom(f1,f2,r2,r21,c2,r3,r31)')))],
[Button("Clear", 'onclick'='clear'), Button("Exit", Shutdown())]
]),
Action['clear'](SetOption('f1'=''),
                SetOption('f2'=''),
                SetOption('r1'=''),
                SetOption('c1'=''),
                SetOption('r2'=''),
                SetOption('r21'=''),
                SetOption('r3'=''),
                SetOption('r31'=''),
                SetOption('c2'=''),
                SetOption('MMLV1'='')
                ),
Action['exemplo1'](SetOption('f1'='exp(int(lambda(x),x=0..t))'),
                  SetOption('f2'='t*exp(int(lambda(x),x=0..t))'),
                  SetOption('r1'='0'),
                  SetOption('c1'='0')
                  ),
Action['exemplo2'](SetOption('f1'='exp(t)'),
                  SetOption('f2'='exp(-t)'),
                  SetOption('r2'='0'),
                  SetOption('r21'='0'),
                  SetOption('c2'='0')
                  ),
Action['exemplo3'](SetOption('f1'='cos(int(f(x), x = 0 .. t))'),
                  SetOption('f2'='sin(int(f(x), x = 0 .. t))'),
                  SetOption('r2'='0'),
                  SetOption('r21'='0'),
                  SetOption('c2'='1')
                  )
);
> end use:
> Maplets:-Display(maplet);

```

A Fig. 4.1 ilustra a forma gráfica do programa anterior. Basicamente o programa funciona de seguinte modo: o utilizador introduz duas funções e as respectivas restrições.

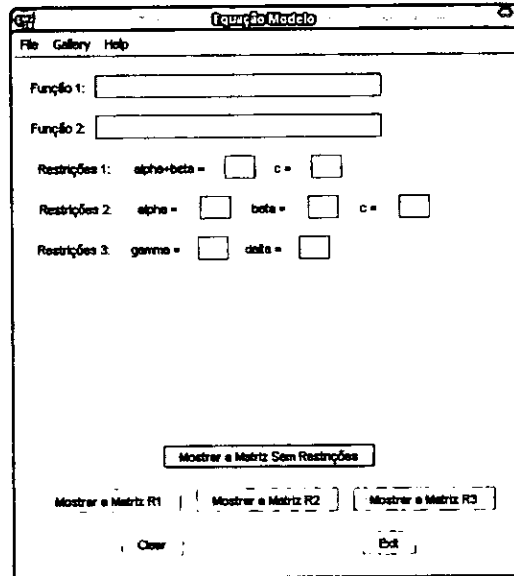


Fig. 4.1

Ao clicar o botão **Mostrar a Matriz Sem Restrições** surge uma matriz sem qualquer restrição e ao clicar o botão correspondente às restrições indicadas aparece a solução simplificada.

O programa permite que para as mesmas funções o utilizador mude várias vezes as restrições fornecendo, deste modo, um mecanismo para escolher a matriz que achar conveniente dependendo das restrições. Vamos ilustrar o funcionamento do programa com alguns exemplos.

Exemplo 4.3.1. Sejam $u_1(t) = e^t$, $u_2(t) = e^{-t}$. A matriz A_0 toma a forma

$$A_0(t) = -\frac{1}{\Delta(t)} \begin{pmatrix} e^{2t} + \beta - \alpha - ce^{-2t} & -2\delta \\ -2\gamma & e^{2t} + \alpha - \beta - ce^{-2t} \end{pmatrix},$$

onde $\Delta(t) = e^{2t} + \alpha + \beta + ce^{-2t}$. Assim,

$$W(t, s) = \frac{1}{\Delta(s)} \begin{pmatrix} e^{t+s} + \beta e^{t-s} + \alpha e^{s-t} + ce^{-t-s} & \delta(e^{s-t} - e^{t-s}) \\ \gamma(e^{s-t} - e^{t-s}) & e^{t+s} + \alpha e^{t-s} + \beta e^{s-t} + ce^{-t-s} \end{pmatrix}$$

onde $\Delta(s) = e^{2s} + \alpha + \beta + ce^{-2s}$. Se $\alpha = \beta = 0$ e $c = 0$ então

$$A_0 = - \begin{pmatrix} 1 & -2\delta e^{-2t} \\ -2\gamma e^{-2t} & 1 \end{pmatrix}$$

e

$$W(t, s) = \frac{1}{e^{2s}} \begin{pmatrix} e^{t+s} & \delta(e^{s-t} - e^{t-s}) \\ \gamma(e^{s-t} - e^{t-s}) & e^{t+s} \end{pmatrix}.$$

A Fig. 4.2 mostra a forma gráfica do programa para este exemplo. ■

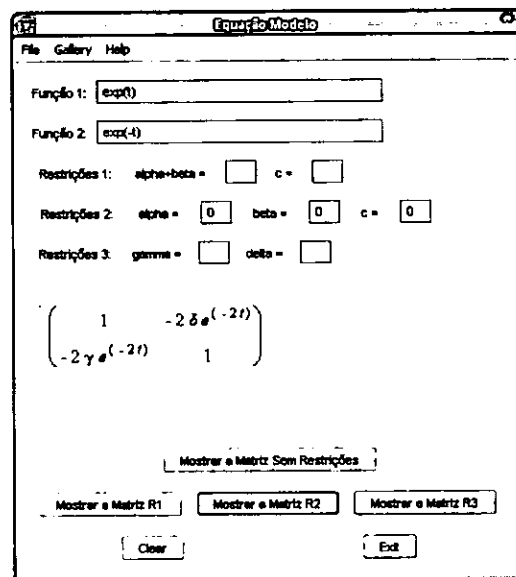


Fig. 4.2

Exemplo 4.3.2. Sejam

$$u_1(t) = \cos \left(\int_0^t \lambda(s) ds \right), \quad u_2(t) = \sin \left(\int_0^t \lambda(s) ds \right),$$

onde $\lambda(\cdot)$ é uma função escalar mensurável e limitada na sua essência no semieixo $[0, +\infty)$. Para nossa comodidade fazemos as seguintes denotações:

$$\tilde{\lambda}(t, s) \stackrel{\text{def}}{=} \int_s^t \lambda(\tau) d\tau, \quad \tilde{\lambda}(t) \stackrel{\text{def}}{=} \tilde{\lambda}(t, 0).$$

A matriz $A_0(\cdot)$, para $\alpha = \beta = 0$ e $c = 1$, toma a forma

$$A_0(t) = - \begin{pmatrix} 0 & \delta\lambda(t) \\ \gamma\lambda(t) & 0 \end{pmatrix}.$$

Neste caso obtemos: $\Delta(t) = 1$,

$$W(t, s) = \begin{pmatrix} \cos \tilde{\lambda}(t, s) + \sin \tilde{\lambda}(t, s) & \delta \sin \tilde{\lambda}(t, s) \\ \gamma \sin \tilde{\lambda}(t, s) & \cos \tilde{\lambda}(t, s) + \sin \tilde{\lambda}(t, s) \end{pmatrix}.$$

Para que tenha lugar a estimação exponencial (4.3.4) da matriz de Cauchy $W(t, s)$ é necessário e suficiente que se cumpra a desigualdade

$$\lim_{\substack{t-s \rightarrow +\infty \\ s \rightarrow +\infty}} \frac{1}{t-s} \int_s^t \lambda(\tau) d\tau < 0.$$

A Fig. 4.3 mostra a forma gráfica do programa para este exemplo. ■

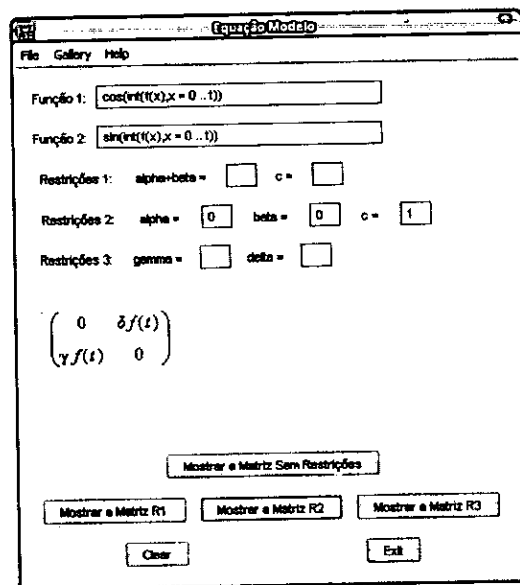


Fig. 4.3

4.4 W-método e estabilidade

Definição 4.4.1. O operador de Cauchy $(Cf)(t) = \int_0^t C(t,s)f(s)ds$ da equação $\mathcal{L}x = f$ diz-se que usufrui a propriedade (B_1, B_2) se actua continuamente do espaço B_1 no espaço B_2 .

Nesta definição, B representa o espaço de Banach de funções $z : [0, \infty) \rightarrow \mathbb{R}^n$, cujos elementos são somáveis em cada segmento finito $[0, b]$. Suponhamos que temos a equação modelo $\mathcal{L}_0x = z$ escolhida com propriedades assintóticas da solução

$$x(t) = U(t)x(0) + \int_0^t W(t,s)z(s)ds, \quad (4.4.1)$$

que é apropriada para a equação $\mathcal{L}x = f$, por investigar. Pretende-se estabelecer a invertibilidade do operador $(Wz)(t) = \int_0^t W(t,s)z(s)ds$.

Teorema 4.4.1. Suponhamos que $\mathcal{L} : D(\mathcal{L}_0, B) \rightarrow B$ e é limitado. Então as seguintes afirmações são equivalentes.

(a) Os espaços $D(\mathcal{L}_0, B)$ e $D(\mathcal{L}, B)$ coincidem e além disso as normas

$$\|x\|_{D(\mathcal{L}_0, B)} = \|\mathcal{L}_0x\|_B + \|x(0)\|_{\mathbb{R}^n} \quad e \quad \|x\|_{D(\mathcal{L}, B)} = \|\mathcal{L}x\|_B + \|x(0)\|_{\mathbb{R}^n}$$

são equivalentes.

(b) Existe a inversa $[\mathcal{L}W]^{-1} : B \rightarrow B$ limitada.

(c) A solução do problema de Cauchy $\mathcal{L}x = f$, $x(0) = \alpha$, pertence a $D(\mathcal{L}_0, B)$ para cada $\{f, \alpha\} \in B \times \mathbb{R}^n$.

O espaço $D(\mathcal{L}_0, B)$ é isomorfo ao produto $B \times \mathbb{R}^n$. Além disso o isomorfismo é definido pela equação (4.4.1). A D_0 -propriedade garante que a parte principal $\mathcal{L}W$ do operador $\mathcal{L} : D(\mathcal{L}_0, B) \rightarrow B$ é Fredholm.

O teorema anterior fornece um esquema para decidir se os elementos $x \in D(\mathcal{L}, B)$ (as soluções x da equação $\mathcal{L}x = f$, $f \in B$) possuem uma dada propriedade (por exemplo, a propriedade $x \in L_\infty$, se $f \in L_\infty$). Por conseguinte, a aplicação do W-método reduz-se à escolha da equação modelo $\mathcal{L}_0x = z$ (à escolha do operador W) com as seguintes condições a cumprirem-se [15]:

- (a) A multivariiedade $Y_0 \subset Y$ com as propriedades dadas coincide com $D(\mathcal{L}_0, B)$.
- (b) O operador \mathcal{L} é tal que $\mathcal{L} : D(\mathcal{L}_0, B) \rightarrow B$
- (c) O operador $\mathcal{L}\mathcal{W} : B \rightarrow B$ é invertível.

A invertibilidade de $\mathcal{L}\mathcal{W} = I - (\mathcal{L}_0 - \mathcal{L})\mathcal{W}$ é garantida pelo princípio de Banach, se é válida a estimação

$$\|(\mathcal{L}_0 - \mathcal{L})\mathcal{W}\|_{B \rightarrow B} < 1. \quad (4.4.2)$$

Em virtude da equivalência das afirmações (b) e (c) do teorema anterior, a invertibilidade de $\mathcal{L} : B \rightarrow B$ é equivalente à invertibilidade de $\mathcal{W}\mathcal{L} : D(\mathcal{L}_0, B) \rightarrow D(\mathcal{L}_0, B)$. Além disso a afirmação (c) ao pertencer às soluções do problema de Cauchy para D_0 é equivalente a solvabilidade da equação

$$\mathcal{W}\mathcal{L}x \equiv x - \mathcal{W}(\mathcal{L}_0 - \mathcal{L})x = \mathcal{W}f + \mathcal{U}\alpha \quad (4.4.3)$$

no espaço $D(\mathcal{L}_0, B)$. Deste modo a estimação

$$\|\mathcal{W}(\mathcal{L}_0 - \mathcal{L})\|_{D(\mathcal{L}_0, B) \rightarrow D(\mathcal{L}_0, B)} < 1 \quad (4.4.4)$$

garante a D_0 -estabilidade.

É útil observar que no caso de $\mathcal{L}_0 - \mathcal{L} : V \rightarrow B$ ser contínuo, a estimação (4.4.4) pode ser substituída por

$$\|\mathcal{W}(\mathcal{L}_0 - \mathcal{L})\|_{V \rightarrow V} < 1. \quad (4.4.5)$$

Este resultado resulta do facto de qualquer solução $x \in V$ da equação (4.4.3) pertencer a $D(\mathcal{L}_0, B)$.

Para ilustração, considere-se a equação [15], [13]

$$(\mathcal{L}x)(t) \stackrel{\text{def}}{=} \dot{x}(t) + A(t)x(t) = f(t), \quad t \in [0, \infty), \quad (4.4.6)$$

assumindo que os elementos da matriz $A_{n \times n}$ são mensuráveis e essencialmente limitadas no semi-eixo $[0, \infty)$ e que as colunas desta matriz pertencem a L_∞ . Na qualidade da equação modelo escolhemos

$$(\mathcal{L}_0x)(t) \stackrel{\text{def}}{=} \dot{x}(t) + \varphi x(t) = z(t)$$

com $\varphi = \text{const} > 0$, $B = L_\infty^\gamma$, $0 < \gamma < \varphi$. Assim, para a matriz fundamental e para o operador de Cauchy da equação modelo temos

$$U(t) = E \exp(-\varphi t), \quad (\mathcal{W}z)(t) = \int_0^t \exp(-\varphi(t-s))z(s)ds.$$

A invertibilidade do operador $\mathcal{LW} : \mathbf{L}_\infty^\gamma \rightarrow \mathbf{L}_\infty^\gamma$ garantirá a propriedade $(\mathbf{L}_\infty^\gamma, \mathbf{L}_\infty^\gamma)$ do operador de Cauchy da equação (4.4.6). Para formular a verificação da condição de invertibilidade do operador \mathcal{LW} será usado o seguinte raciocínio.

Tem-se $\mathcal{W}z = z - \Omega z$, onde

$$(\Omega z)(t) = [E\varphi - A(t)] \int_0^t \exp(-\varphi(t-s))z(s)ds, \quad \|\Omega z\|_{\mathbf{L}_\infty^\gamma} \leq \text{vrai sup}_{t>0} \|E\varphi - A(t)\|.$$

$$\int_0^t \exp(\varphi - \gamma)(s-t) \exp(\gamma s)|z(s)|ds \leq \text{vrai sup}_{t>0} \|E\varphi - A(t)\| \frac{1}{\varphi - \gamma} \|z\|_{\mathbf{L}_\infty^\gamma}.$$

Assim,

$$\|\Omega\|_{\mathbf{L}_\infty^\gamma \rightarrow \mathbf{L}_\infty^\gamma} \leq \text{vrai sup}_{t>0} \|E\varphi - A(t)\| \frac{1}{\varphi - \gamma}.$$

Em virtude do Teorema 4.4.1 obtemos a desigualdade

$$\text{vrai sup}_{t \geq b} \|E\varphi - A(t)\| < \varphi - \gamma,$$

com $b > 0$ que garante a \mathbf{D}_0 -estabilidade da equação (4.4.6). A estabilidade não é violada se a matriz A é definida arbitrariamente no segmento $[0, \infty)$, por exemplo, $A(t) = E\varphi$. Portanto, o resultado final pode ser formulado do seguinte modo:

Teorema 4.4.2. *Suponhamos que existe um número $\varphi > 0$ tal que*

$$\text{vrai lim}_{t \rightarrow \infty} \|E\varphi - A(t)\| < \varphi. \tag{4.4.7}$$

Então a equação (4.4.6) é \mathbf{C}^γ -estável para $\gamma > 0$ suficientemente pequeno e as soluções desta equação são exponencialmente estáveis.

Se no espaço \mathbb{R}^n definimos a norma $|\xi| = \max\{|\xi^1|, \dots, |\xi^n|\}$, então para a matriz $A = (a_{ij})$ a norma é $\|a\| = \max_{1 \leq j \leq n} \sum_{i=1}^n |a_{ij}|$. Esta normalização da equação (4.4.7) é válida se

$$\text{vrai lim}_{t \rightarrow \infty} \left\{ |\varphi - a_{ii}(t)| + \sum_{j \neq i} |a_{ij}(t)| \right\} < \varphi, \quad i = 1, \dots, n.$$

Daqui, assumindo que $\varphi > \max_i \{ \text{vrai lim}_{t \rightarrow \infty} |a_{ii}(t)| \}$, obtemos:

Corolário 4.4.1. *Suponhamos que a desigualdade*

$$\text{vrai lim}_{t \rightarrow \infty} \left\{ a_{ii}(t) - \sum_{j \neq i} |a_{ij}(t)| \right\} > 0, \quad i = 1, \dots, n,$$

é válida. Então as soluções da equação (4.4.6) são exponencialmente estáveis.

Esta afirmação pode ser enunciada de forma mais precisa, usando como equação modelo uma equação mais complicada. Assim, assumindo $(\mathcal{L}_0 x)(t) = \dot{x}(t) + A_0 x(t)$, onde $A_0 = \text{diag}(\varphi_1, \dots, \varphi_n)$, obtemos a afirmação seguinte:

Teorema 4.4.3. *Suponhamos que existem números positivos $\varphi_1, \dots, \varphi_n$ tais que*

$$\text{vrai lim}_{t \rightarrow \infty} \left\{ \varphi_1 a_{ii}(t) - \sum_{j \neq i} \varphi_j |a_{ij}(t)| \right\} > 0, \quad i = 1, \dots, n.$$

Então as soluções da equação (4.4.6) são exponencialmente estáveis.

4.5 Critérios de C estabilidade

Vamos neste parágrafo formular três critérios de C-estabilidade [6] da equação (4.3.1) com matriz

$$A(t) = - \begin{pmatrix} p(t) & q(t) \\ r(t) & v(t) \end{pmatrix},$$

onde $p(\cdot), q(\cdot), r(\cdot), v(\cdot)$ são quaisquer funções escalares mensuráveis e limitadas na sua essência no semi-eixo $[0, +\infty)$.

Critério 4.5.1. *Suponhamos que se cumprem as desigualdades: $\text{vrai sup}_{t \geq 0} \psi(t) < +\infty$,*

$$\{ \text{vrai sup}_{t \geq 0} |q(t) - r(t)| + \text{vrai sup}_{t \geq 0} |p(t) - v(t)| \} \times \text{vrai sup}_{t \geq 0} \psi(t) < \frac{1}{\sqrt{2}},$$

onde $\psi(t) \stackrel{\text{def}}{=} \int_0^t \exp \left(\int_s^t \epsilon(\tau) d\tau \right) ds$, $\epsilon(t) \stackrel{\text{def}}{=} p(t) + |q(t)|$.

Então a equação (4.3.1) é C estável.

Demonstração. Na qualidade de equação modelo vamos escolher a equação (4.3.2). Primeiro mostremos que para esta equação a matriz a considerar é

$$A_0(t) = - \begin{pmatrix} p(t) & q(t) \\ q(t) & p(t) \end{pmatrix}.$$

Para tal, escolhemos as funções [6]

$$u_1(t) = e \int_0^t \lambda_1(s) ds, \quad u_2(t) = e \int_0^t \lambda_2(s) ds - e \int_0^t \lambda_1(s) ds,$$

onde λ_1, λ_2 são quaisquer funções escalares mensuráveis e limitadas na sua essência no semi-eixo $[0, +\infty)$. Suponhamos, por definição, que $\lambda_1(t) < \lambda_2(t)$ para quase todo $t \geq 0$ e, para nossa comodidade, façamos as seguintes denotações:

$$\tilde{\lambda}_i(t, s) \stackrel{\text{def}}{=} \int_s^t \lambda_i(\tau) d\tau, \quad \tilde{\lambda}_i(t) \stackrel{\text{def}}{=} \tilde{\lambda}_i(t, 0), \quad i = 1, 2.$$

Inicialmente a matriz A_0 , para $c = 0$ e $\alpha + \beta = 1$, tem a forma

$$A_0(t) = - \begin{pmatrix} \lambda_1(t) + \alpha(\lambda_2(t) - \lambda_1(t)) & \delta(\lambda_2(t) - \lambda_1(t)) \\ \gamma(\lambda_2(t) - \lambda_1(t)) & \lambda_2(t) + \alpha(\lambda_1(t) - \lambda_2(t)) \end{pmatrix},$$

onde $\Delta(t) = e^{\tilde{\lambda}_1(t) + \tilde{\lambda}_2(t)}$. Para que tenha lugar a estimação exponencial (4.3.4) da matriz de Cauchy $W(t, s)$,

$$W(t, s) = \begin{pmatrix} e^{\tilde{\lambda}_1(t,s)} + \alpha(e^{\tilde{\lambda}_2(t,s)} - e^{\tilde{\lambda}_1(t,s)}) & \delta(e^{\tilde{\lambda}_2(t,s)} - e^{\tilde{\lambda}_1(t,s)}) \\ \gamma(e^{\tilde{\lambda}_2(t,s)} - e^{\tilde{\lambda}_1(t,s)}) & e^{\tilde{\lambda}_2(t,s)} - \alpha(e^{\tilde{\lambda}_2(t,s)} - e^{\tilde{\lambda}_1(t,s)}) \end{pmatrix}.$$

é necessário e suficiente que se cumpra a desigualdade [6]

$$\lim_{\substack{t-s \rightarrow +\infty \\ s \rightarrow +\infty}} \frac{1}{t-s} \int_s^t \lambda_2(\tau) d\tau < 0.$$

Sejam $\alpha = \beta = \gamma = \delta = 1/2$ e denote-se

$$p(t) \stackrel{\text{def}}{=} \frac{1}{2} (\lambda_1(t) + \lambda_2(t)), \quad q(t) \stackrel{\text{def}}{=} \frac{1}{2} (\lambda_2(t) - \lambda_1(t)).$$

Então,

$$\lambda_1(t) = p(t) - q(t), \quad \lambda_2(t) = p(t) + q(t).$$

Se $\alpha = \beta = 1/2$, $\gamma = \delta = -1/2$ e denotando-se

$$p(t) \stackrel{\text{def}}{=} \frac{1}{2} (\lambda_1(t) + \lambda_2(t)), \quad q(t) \stackrel{\text{def}}{=} \frac{1}{2} (\lambda_1(t) - \lambda_2(t)),$$

então,

$$\lambda_1(t) = p(t) + q(t), \quad \lambda_2(t) = p(t) - q(t).$$

Em ambos os casos temos:

$$A_0(t) = - \begin{pmatrix} p(t) & q(t) \\ q(t) & p(t) \end{pmatrix}$$

e a matriz de Cauchy tem a forma

$$W(t, s) = e^{\int_s^t p(\tau) d\tau} \begin{pmatrix} \text{ch} \int_s^t q(\tau) d\tau & \text{sh} \int_s^t q(\tau) d\tau \\ \text{sh} \int_s^t q(\tau) d\tau & \text{ch} \int_s^t q(\tau) d\tau \end{pmatrix}.$$

A condição $\text{vrai sup}_{t \geq 0} \psi(t) < +\infty$ garante a C -estabilidade da equação (4.3.2).

Calculamos a expressão

$$(\mathcal{K}z)(t) \stackrel{\text{def}}{=} \int_0^t K(t, s)z(s) ds,$$

onde $K(t, s) \stackrel{\text{def}}{=} (A_0(t) - A(t))W(t, s)$. É óbvio, que $\mathcal{L}Wz = z - \mathcal{K}z$. Segundo a observação 4.3.1, a C -estabilidade da equação (4.3.1) é equivalente à D_0 -estabilidade. A desigualdade

$$\|\mathcal{K}\|_{L_\infty \rightarrow L_\infty} < 1 \tag{4.5.1}$$

é condição suficiente para a invertibilidade do operador $\mathcal{L}W : L_\infty \mapsto L_\infty$.

A norma $\|z\|$ do elemento $z \in L_\infty$, $z = \text{col}\{z_1, z_2\}$ definimos segundo a igualdade [6]

$$\|z\|_{L_\infty} \stackrel{\text{def}}{=} \sqrt{(\text{vrai sup}_{t \geq 0} |z_1(t)|)^2 + (\text{vrai sup}_{t \geq 0} |z_2(t)|)^2}.$$

Nas condições do Critério 4.5.1 a desigualdade (4.5.1) cumpre-se. ■

Cr terio 4.5.2. *Suponhamos que se cumprem as desigualdades: $\text{vrai sup}_{t \geq 0} \Phi(t) < +\infty$,*

$$\{ \text{vrai sup}_{t \geq 0} |q(t) + r(t)| + \text{vrai sup}_{t \geq 0} |p(t) - v(t)| \} \times \text{vrai sup}_{t \geq 0} \Phi(t) < 1,$$

onde $\Phi(t) \stackrel{\text{def}}{=} \int_0^t \exp \left(\int_s^t p(\tau) d\tau \right) ds$.

Ent o a equa o (4.3.1)   C est vel.

Demonstra o. Na qualidade de equa o modelo vamos escolher a equa o (4.3.2). Vamos mostrar que a matriz A_0 para esta equa o   do tipo

$$A_0(t) = - \begin{pmatrix} p(t) & q(t) \\ -q(t) & p(t) \end{pmatrix}.$$

Para tal escolhemos as fun es [6]

$$u_1(t) = e^{\int_0^t \lambda(s) ds} \cos \int_0^t \theta(s) ds, \quad u_2(t) = e^{\int_0^t \lambda(s) ds} \sin \int_0^t \theta(s) ds,$$

onde λ, θ s o quaisquer fun es escalares mensur veis e limitadas na sua ess ncia no semi-eixo $[0, +\infty)$. Para nossa comodidade fa amos as seguintes denota es:

$$\tilde{\lambda}(t, s) \stackrel{\text{def}}{=} \int_s^t \lambda(\tau) d\tau, \quad \tilde{\theta}(t, s) \stackrel{\text{def}}{=} \int_s^t \theta(\tau) d\tau, \quad \tilde{\lambda}(t) \stackrel{\text{def}}{=} \tilde{\lambda}(t, 0), \quad \tilde{\theta}(t) \stackrel{\text{def}}{=} \tilde{\theta}(t, 0).$$

Inicialmente a matriz A_0 , para $c = 1$ e $\alpha + \beta = 0$, toma a forma

$$A_0(t) = - \begin{pmatrix} \lambda(t) - \beta\theta(t) & \delta\theta(t) \\ \gamma\theta(t) & \lambda(t) - \alpha\theta(t) \end{pmatrix},$$

onde $\Delta(t) = e^{2\tilde{\lambda}(t)}$. Para que tenha lugar a estima o exponencial (4.3.4) da matriz de Cauchy $W(t, s)$

$$W(t, s) = e^{\tilde{\lambda}(t, s)} \begin{pmatrix} \cos \tilde{\theta}(t, s) + \alpha \sin \tilde{\theta}(t, s) & \delta \sin \tilde{\theta}(t, s) \\ \gamma \sin \tilde{\theta}(t, s) & \cos \tilde{\theta}(t, s) + \beta \sin \tilde{\theta}(t, s) \end{pmatrix}$$

é necessário e suficiente que se cumpra a desigualdade [6]

$$\lim_{\substack{t-s \rightarrow +\infty \\ s \rightarrow +\infty}} \frac{1}{t-s} \int_s^t \lambda(\tau) d\tau < 0.$$

Sejam $\alpha = \beta = 0$, $\gamma = -\delta = -1$ e denote-se:

$$p(t) \stackrel{\text{def}}{=} \lambda(t), \quad q(t) \stackrel{\text{def}}{=} \theta(t).$$

Se $\alpha = \beta = 0$, $\gamma = -\delta = 1$, denote-se

$$p(t) \stackrel{\text{def}}{=} \lambda(t), \quad q(t) \stackrel{\text{def}}{=} -\theta(t).$$

Em ambos os casos temos:

$$A_0(t) = - \begin{pmatrix} p(t) & q(t) \\ -q(t) & p(t) \end{pmatrix},$$

e

$$W(t, s) = e^{\int_s^t p(\tau) d\tau} \begin{pmatrix} \cos \int_s^t q(\tau) d\tau & \sin \int_s^t q(\tau) d\tau \\ -\sin \int_s^t q(\tau) d\tau & \cos \int_s^t q(\tau) d\tau \end{pmatrix}.$$

A condição $\text{vrai sup}_{t \geq 0} \psi(t) < +\infty$ garante a C-estabilidade da equação (4.3.2).

Calculamos a expressão

$$(\mathcal{K}z)(t) \stackrel{\text{def}}{=} \int_0^t K(t, s)z(s) ds,$$

onde $K(t, s) \stackrel{\text{def}}{=} (A_0(t) - A(t))W(t, s)$. É óbvio, que $\mathcal{LW}z = z - \mathcal{K}z$. Segundo a observação 4.3.1, a C-estabilidade da equação (4.3.1) é equivalente à D_0 -estabilidade. A desigualdade (4.5.1) é condição suficiente para a invertibilidade do operador $\mathcal{LW} : L_\infty \mapsto L_\infty$.

A norma $\|z\|$ do elemento $z \in L_\infty$, $z = \{z_1, z_2\}$ definimos segundo a igualdade

$$\|z\|_{L_\infty} \stackrel{\text{def}}{=} \sqrt{(\text{vrai sup}_{t \geq 0} |z_1(t)|)^2 + (\text{vrai sup}_{t \geq 0} |z_2(t)|)^2}.$$

Nas condições do Critério 4.5.2 a desigualdade (4.5.1) cumpre-se. ■

Cr terio 4.5.3. *Suponhamos que se cumprem as desigualdades:* $\text{vrai sup}_{t \geq 0} \Phi(t) < +\infty$,

$$\left\{ (\text{vrai sup}_{t \geq 0} |p(t) - v(t)|)^2 + (\text{vrai sup}_{t \geq 0} |q(t)|)^2 + (\text{vrai sup}_{t \geq 0} |r(t)|)^2 \right\} \times \text{vrai sup}_{t \geq 0} \Phi(t) < 1.$$

Ent o a equa o (4.3.1)   C est vel.

Demonstra o. Na qualidade de equa o modelo vamos escolher a equa o (4.3.2). Mostremos que a matriz A_0 para esta equa o modelo   do tipo

$$A_0(t) = - \begin{pmatrix} p(t) & 0 \\ 0 & p(t) \end{pmatrix}.$$

Para tal fa amos [6]

$$u_1(t) = e^{\int_0^t \lambda(s) ds}, \quad u_2(t) = te^{\int_0^t \lambda(s) ds},$$

onde λ   uma fun o escalar mensur vel e limitada na sua ess ncia no semi-eixo $[0, +\infty)$.

Inicialmente a matriz $A_0(t)$, para $c = 0$ e $\alpha + \beta = 0$, toma a forma

$$A_0(t) = - \begin{pmatrix} \lambda(t) + \alpha & \delta \\ \gamma & \lambda(t) + \beta \end{pmatrix}.$$

onde $\Delta(t) = e^{2 \int_0^t \lambda(s) ds}$ e a matriz de Cauchy $W(t, s)$

$$W(t, s) = e^{\int_s^t \lambda(\tau) d\tau} \begin{pmatrix} 1 + \alpha(t-s) & \delta(t-s) \\ \gamma(t-s) & 1 + \beta(t-s) \end{pmatrix}.$$

Para que tenha lugar a estima o exponencial (4.3.4) da matriz de Cauchy $W(t, s)$   necess rio e suficiente que se cumpra a desigualdade [6]

$$\lim_{\substack{t-s \rightarrow +\infty \\ s \rightarrow +\infty}} \frac{1}{t-s} \int_s^t \lambda(\tau) d\tau < 0.$$

Se nas matrizes $A_0(t)$ e $W(t, s)$ colocarmos $\alpha = \beta = \gamma = \delta = 0$, $\lambda(\cdot) = p(\cdot)$ ent o estas matrizes tomam a forma

$$A_0(t) = - \begin{pmatrix} p(t) & 0 \\ 0 & p(t) \end{pmatrix}.$$

e

$$W(t, s) = e^{\int_s^t p(\tau) d\tau} \begin{pmatrix} 1 & 0 \\ 0 & 1 \end{pmatrix}.$$

Repetindo os passos dados na demonstração do Critério 4.5.2 obtemos que, nas condições do Critério 4.5.3, a desigualdade (4.5.1) cumpre-se. ■

CONCLUSÕES E RECOMENDAÇÕES

Este trabalho teve como objectivo geral fazer uma abordagem sobre alguns critérios de C -estabilidade de sistemas de equações diferenciais e levar a cabo, de um modo pedagógico e metodológico, um estudo sobre D e C -estabilidade de sistemas de equações diferenciais e, como objectivo específico, generalizar os critérios de C -estabilidade obtidos em [6]. Utilizando métodos numéricos fez-se a demonstração computacional para alguns exemplos de sistemas diferenciais.

A maior parte dos conceitos aqui apresentados foram criteriosamente estudados de modo a alcançar o objectivo do trabalho. No parágrafo sobre a função de Cauchy demonstramos algumas das suas propriedades. No capítulo sobre a estabilidade de sistemas diferenciais fez-se a análise da estabilidade de sistemas diferenciais lineares homogêneos. Gostaria de propor que se estenda esta análise para os casos não lineares.

Os algoritmos e resultados computacionais apresentados estão estritamente ligados ao caso em estudo. O uso dos pacotes Matlab 6.5 e Maple 10 permitiu-me encontrar resultados que de outra forma seria muito mais trabalhoso. Por outro lado, o software Matlab 6.5 permitiu-me elaborar um software para a análise gráfica de estabilidade, enquanto que o Maple ofereceu-me possibilidades de construir um software para, através da introdução de duas funções, obter as matrizes (uma das quais é a matriz de Cauchy) para a equação modelo. Neste trabalho a equação modelo é de segunda ordem. Proponho que os algoritmos e os resultados computacionais sejam melhorados e que seja feita a análise para o caso duma matriz de ordem superior a dois.

Bibliografia

- [1] B. Demidovitch et al, *Problemas e Exercícios de Análise Matemática*, Editora Mir Moscovo, 1993.
- [2] C. H. Edwards, D. E. Penney, *Differential Equations: Computing and Modeling*, Prentice Hall, New Jersey, 1996.
- [3] D. C. Lay, *Linear Algebra and Its Applications*, Addison Wesley, 2003.
- [4] D. G. Zill, M. R. Cullen, *Differential Equations with Boundary-value Problems*, 3rd Edition, PWS Publishing Company, Boston, 1993.
- [5] E. A. Barbashin, *Introduction to the Stability Theory*, Nauka, Moscow, 1967.
- [6] M. J. Alves, *Equações Diferenciais Funcionais Singulares de Segunda Ordem*, Perm State University Press, 2000.
- [7] M. L. Krasnov, A.I. Kiseliiov, G.I. Makarenko, *Equações Diferenciais Ordinárias*, MacGraw-Hill, Portugal, 1994.
- [8] M. L. Krasnov, A.I. Kiseliiov, G.I. Makarenko, *Funciones de Variable Compleja. Calculo Operacional. Teoría de la Estabilidad*, Editora Mir, Moscú, 1981.
- [9] N. V. Azbelev, *Stability of linear systems with aftereffect*, Sb. Nautshn. Trudov, Novosibirski: Nauka, SO (1988), pp. 65–72.
- [10] N. V. Azbelev, L. M. Berezanskiï, *Stability of solutions of equations with after effect*, Funkts. Differents. Uravnenia: Sb. nautshn. Trudov, Perm: PermPI (1989), pp. 3–15.
- [11] N. V. Azbelev, L. M. Berezanskiï, P. M. Simonov, A. V. Chistiakov, *Stability of linear systems with after effect*, Differ. Equations, T. 29, N^o. 2 (1993), pp. 153–160.
- [12] N. V. Azbelev, P. M. Simonov, *Stability of equations with delay*, Iz. vuzov. Matematika, (1997), pp. 3–16.

- [13] N. V. Azbelev, V. P. Maksimov, L. F. Rakhmatullina, *Introduction to the Theory of Linear Functional Differential Equations*, World Federation Publishers Company, Atlanta, 1995.
- [14] S.A. Gusarenko, *Functional-differential equations with volterra operator: PhD thesis in Maths*, Perm, 1987.
- [15] N.V. Azbelev, V. P. Maksimov, L.F. Rakhmatullina, *Methods of the Conteporaneos Theory of Functional Differential Equations*, Theory of Chaos, 2001.
- [16] S. G. Kreĭn et al, *Functional Analysis*, Nauka, Moscow, 1972.
- [17] T. Tantau, *User Guide to the Beamer Class, Version 3.07*, March 11, 2007.
- [18] V. V. Malygina, *On an exponential estimate for a Cauchy function*, Differ. Equations, T. 28, (1992), pp. 1082–1084.
- [19] W. R. Derrick, S. I. Grossman, *Elementary Differential Equations with Aplications*, Addison-Wesley Publishing Company, Inc., 1981.
- [20] Yu. L. Daletskiĭ, M. G. Kreĭn, *Stability of Solutions of Differential Equations on Banach Space*, Nauka, Moscow, 1970.
- [21] <http://math.rice.edu/~dfield/dfpp.html>, visitado em 12/02/07.